

Vibrazioni di sistemi continui monodimensionali

Esercizio 1 - Cod. VIB-039

Determinare la legge di movimento di una corda uniforme di lunghezza l , fissata ad entrambe le estremità, che viene pizzicata in corrispondenza del suo punto medio, come indicato in Figura 1, e successivamente rilasciata.

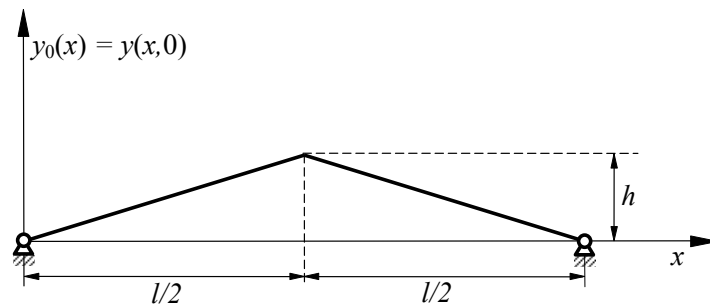


Figura 1

Soluzione

Indichiamo con T il tiro, supposto costante, a cui è soggetta la corda e con ρ la densità lineare (massa per unità di lunghezza) della corda stessa.

La velocità c di propagazione dell'onda lungo la corda risulta:

$$c = \sqrt{\frac{T}{\rho}} \quad (1)$$

mentre l'equazione di moto è data dalla seguente espressione:

$$y(x, t) = Y(x)f(t) = \left(A \cos \frac{\omega x}{c} + B \sin \frac{\omega x}{c} \right) (C \cos \omega t + D \sin \omega t) \quad (2)$$

Poiché la corda è fissata ad entrambe le estremità, possiamo scrivere le condizioni ad contorno sotto riportate:

$$\begin{cases} y(0, t) = 0 \\ y(l, t) = 0 \end{cases} \quad (3)$$

Poiché la funzione $f(t)$ risulta, in generale, diversa da zero, le condizioni (3) si trasformano nelle seguenti:

$$\begin{cases} Y(0) = 0 \\ Y(l) = 0 \end{cases} \quad (4)$$

Dalla prima delle (4) si ricava $A = 0$, mentre dalla seconda delle (4) si ha:

$$\sin \frac{\omega l}{c} = 0 \quad (5)$$

dovendo risultare $B \neq 0$, al fine di non ottenere una soluzione identicamente nulla. Risolvendo la (5) si ottengono i valori delle pulsazioni proprie:

$$\frac{\omega_n l}{c} = n\pi \quad \Rightarrow \quad \omega_n = \frac{n\pi c}{l} \quad (n = 1, 2, \dots) \quad (6)$$

L' n -esimo modo di vibrare risulta pertanto definito dall'equazione:

$$y_n(x, t) = Y_n(x)f_n(t) = \sin \frac{n\pi x}{l} \left(C_n \cos \frac{n\pi c}{l} t + D_n \sin \frac{n\pi c}{l} t \right) \quad (7)$$

La legge di movimento della corda si ottiene per sovrapposizione degli infiniti modi di vibrare $y_n(x, t)$; si ha pertanto:

$$y(x, t) = \sum_{n=1}^{\infty} y_n(x, t) = \sum_{n=1}^{\infty} \sin \frac{n\pi x}{l} \left(C_n \cos \frac{n\pi c}{l} t + D_n \sin \frac{n\pi c}{l} t \right) \quad (8)$$

Derivando la (8) si ricava l'espressione della velocità per i vari punti della corda:

$$\dot{y}(x, t) = \sum_{n=1}^{\infty} \sin \frac{n\pi x}{l} \left(-\frac{n\pi c}{l} C_n \sin \frac{n\pi c}{l} t + \frac{n\pi c}{l} D_n \cos \frac{n\pi c}{l} t \right) \quad (9)$$

Indichiamo ora con $y_0(x)$ la configurazione iniziale deformata della corda:

$$y_0(x) = y(x, 0) \quad (10)$$

Poiché la corda è in quiete all'istante iniziale si ha:

$$\dot{y}_0(x) = \dot{y}(x, 0) = 0 \quad (11)$$

Applicando le condizioni iniziali (10) e (11) alle (8) e (9) si ricavano le seguenti relazioni:

$$\sum_{n=1}^{\infty} C_n \sin \frac{n\pi x}{l} = y_0(x) \quad \sum_{n=1}^{\infty} \frac{n\pi c}{l} D_n \sin \frac{n\pi x}{l} = 0 \quad (12)$$

Dalla seconda delle (12) si deduce immediatamente che deve essere:

$$D_n = 0 \quad \text{per} \quad n = 1, 2, 3, \dots \quad (13)$$

Il calcolo dei coefficienti C_n si può effettuare moltiplicando la prima delle (12) per $\sin \frac{m\pi x}{l}$ ed integrando rispetto ad x da 0 ad l ; il risultato che si ottiene è il seguente¹:

$$C_n = \frac{2}{l} \int_0^l y_0(x) \sin \frac{n\pi x}{l} dx \quad (14)$$

¹Illustriamo nel dettaglio i passaggi da effettuare per ricavare i coefficienti C_n a partire dalla prima delle (12):

- moltiplichiamo la prima delle (12) per $\sin \frac{m\pi x}{l}$:

$$\sin \frac{m\pi x}{l} \left[\sum_{n=1}^{\infty} C_n \sin \frac{n\pi x}{l} \right] = y_0(x) \sin \frac{m\pi x}{l} \quad \Rightarrow \quad \sum_{n=1}^{\infty} C_n \sin \frac{n\pi x}{l} \sin \frac{m\pi x}{l} = y_0(x) \sin \frac{m\pi x}{l}$$

- integriamo fra 0 ed l :

$$\int_0^l \left[\sum_{n=1}^{\infty} C_n \sin \frac{n\pi x}{l} \sin \frac{m\pi x}{l} \right] dx = \int_0^l y_0(x) \sin \frac{m\pi x}{l} dx$$

- applichiamo la proprietà di linearità degli integrali (l'integrale di un sommatoria di funzioni è uguale alla sommatoria degli integrali delle singole funzioni):

$$\sum_{n=1}^{\infty} \left[C_n \int_0^l \sin \frac{n\pi x}{l} \sin \frac{m\pi x}{l} dx \right] = \int_0^l y_0(x) \sin \frac{m\pi x}{l} dx$$

- si osserva che:

$$\int_0^l \sin \frac{n\pi x}{l} \sin \frac{m\pi x}{l} dx = \begin{cases} l/2 & \text{per } m = n \\ 0 & \text{per } m \neq n \end{cases}$$

- quindi, di tutti i termini della sommatoria, rimane solo quello corrispondente a $m = n$; in definitiva si ottiene:

$$C_n \frac{l}{2} = \int_0^l y_0(x) \sin \frac{n\pi x}{l} dx \quad \Rightarrow \quad C_n = \frac{2}{l} \int_0^l y_0(x) \sin \frac{n\pi x}{l} dx$$

L'espressione analitica della deformata iniziale, necessaria per il calcolo dell'integrale al secondo membro della (14), si deduce dalla Figura 1:

$$y_0(x) = \begin{cases} \frac{2h}{l}x & \text{per } 0 \leq x \leq \frac{l}{2} \\ \frac{2h}{l}(l-x) & \text{per } \frac{l}{2} < x \leq l \end{cases} \quad (15)$$

Dalla (14), tenendo conto della (15), si ricava:

$$C_n = \frac{2}{l} \left[\int_0^{l/2} \frac{2h}{l}x \sin \frac{n\pi x}{l} dx + \int_{l/2}^l \frac{2h}{l}(l-x) \sin \frac{n\pi x}{l} dx \right] = \frac{4h}{n^2\pi^2} \left[2 \sin \frac{n\pi}{2} - \sin n\pi \right] \quad (16)$$

Poiché risulta $\sin n\pi = 0$ per $n = 1, 2, 3, \dots$, si ha:

$$C_n = \frac{8h}{n^2\pi^2} \sin \frac{n\pi}{2} \quad \text{per } n = 1, 2, 3, \dots \quad (17)$$

Osservando ora che:

$$\sin \frac{n\pi}{2} = \begin{cases} (-1)^{(n-1)/2} & \text{per } n = 1, 3, 5, \dots \\ 0 & \text{per } n = 2, 4, 6, \dots \end{cases} \quad (18)$$

possiamo scrivere:

$$C_n = \begin{cases} (-1)^{(n-1)/2} \frac{8h}{n^2\pi^2} & \text{per } n = 1, 3, 5, \dots \\ 0 & \text{per } n = 2, 4, 6, \dots \end{cases} \quad (19)$$

In definitiva, tenendo conto della (13) e della (19), l'equazione (8) può essere riscritta nella forma:

$$\begin{aligned} y(x, t) &= C_1 \sin \frac{\pi x}{l} \cos \frac{\pi c}{l} t + C_3 \sin \frac{3\pi x}{l} \cos \frac{3\pi c}{l} t + C_5 \sin \frac{5\pi x}{l} \cos \frac{5\pi c}{l} t + \dots \\ &= \frac{8h}{\pi^2} \left[\sin \frac{\pi x}{l} \cos \frac{\pi c}{l} t - \frac{1}{9} \sin \frac{3\pi x}{l} \cos \frac{3\pi c}{l} t + \frac{1}{25} \sin \frac{5\pi x}{l} \cos \frac{5\pi c}{l} t - \dots \right] \end{aligned} \quad (20)$$

Esercizio 2 - Cod. VIB-040

Si considerino le vibrazioni assiali di un'asta omogenea di lunghezza l , avente sezione trasversale uniforme di area A_s , vincolata nei modi indicati in Figura 1:

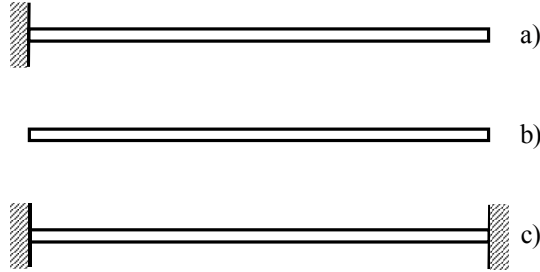


Figura 1 Condizioni di vincolo: a) incastro - estremo libero; b) estremo libero - estremo libero; c) incastro - incastro.

Siano ρ ed E rispettivamente la densità ed il modulo di Young del materiale costituente l'asta; per ciascuna delle condizioni di vincolo specificate si chiede di determinare:

- le condizioni al contorno;
- l'equazione delle frequenze;
- le pulsazioni proprie;
- i modi principali di vibrare.

Soluzione

Indicando con $u(x, t)$ lo spostamento assiale di una generica sezione dell'asta, l'equazione delle vibrazioni assiali risulta:

$$u(x, t) = U(x)f(t) = \left(A \cos \frac{\omega x}{c} + B \sin \frac{\omega x}{c} \right) (C \cos \omega t + D \sin \omega t) \quad (1)$$

dove

$$c = \sqrt{\frac{E}{\rho}} \quad (2)$$

rappresenta la velocità di propagazione dell'onda lungo l'asta. Esaminiamo ora le condizioni di vincolo sopra riportate.

Caso a): Incastro - estremo libero

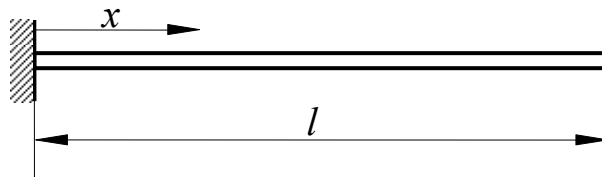


Figura 2

- *Condizioni al contorno*

In $x = 0$ lo spostamento è nullo, quindi:

$$u(0, t) = 0 \quad (3)$$

In $x = l$ la forza assiale N è nulla, quindi:

$$N(l, t) = EA_s \frac{\partial u}{\partial x}(l, t) = 0 \quad \Rightarrow \quad \frac{\partial u}{\partial x}(l, t) = 0 \quad (4)$$

- *Equazione delle frequenze*

Per ricavare l'equazione delle frequenze applichiamo le condizioni al contorno sopra riportate:

$$u(x, t) = \left(A \cos \frac{\omega x}{c} + B \sin \frac{\omega x}{c} \right) f(t) \quad \Rightarrow \quad u(0, t) = Af(t) = 0 \quad (5)$$

$$\frac{\partial u}{\partial x}(x, t) = \left(-\frac{\omega}{c} A \sin \frac{\omega x}{c} + \frac{\omega}{c} B \cos \frac{\omega x}{c} \right) f(t) \quad \Rightarrow \quad \frac{\partial u}{\partial x}(l, t) = \left(\frac{\omega}{c} B \cos \frac{\omega l}{c} \right) f(t) = 0 \quad (6)$$

Dalla (5) si deduce che deve essere $A = 0$, mentre dalla (6) si ricava l'equazione delle frequenze:

$$\cos \frac{\omega l}{c} = 0 \quad (7)$$

- *Pulsazioni proprie* Le pulsazioni proprie si ricavano risolvendo la (7) rispetto ad ω :

$$\frac{\omega l}{c} = (2n + 1) \frac{\pi}{2} \quad \Rightarrow \quad \omega = \frac{(2n + 1)\pi c}{2l} \quad n = 0, 1, 2, 3, \dots \quad (8)$$

- *Modi principali di vibrare* Tenendo presenti i risultati ottenuti in precedenza, l'espressione analitica dell' n -esimo modo principale di vibrare $U_n(x)$ risulta:

$$U_n(x) = C_n \sin \frac{(2n + 1)\pi x}{2l} \quad (9)$$

dove C_n rappresenta una generica costante.

Caso b): Estremo libero - estremo libero

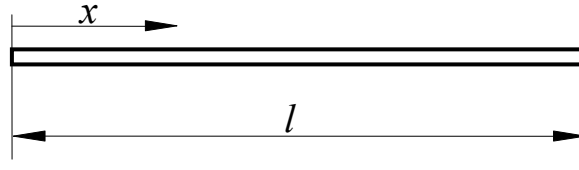


Figura 3

- *Condizioni al contorno*

In $x = 0$ la forza assiale N è nulla, quindi:

$$N(0, t) = EA_s \frac{\partial u}{\partial x}(0, t) = 0 \quad \Rightarrow \quad \frac{\partial u}{\partial x}(0, t) = 0 \quad (10)$$

In $x = l$ la forza assiale N è nulla, quindi:

$$N(l, t) = EA_s \frac{\partial u}{\partial x}(l, t) = 0 \quad \Rightarrow \quad \frac{\partial u}{\partial x}(l, t) = 0 \quad (11)$$

- *Equazione delle frequenze*

Per ricavare l'equazione delle frequenze applichiamo le condizioni al contorno sopra riportate:

$$\frac{\partial u}{\partial x}(x, t) = \left(-\frac{\omega}{c} A \sin \frac{\omega x}{c} + \frac{\omega}{c} B \cos \frac{\omega x}{c} \right) f(t) \quad \Rightarrow \quad \begin{aligned} \frac{\partial u}{\partial x}(0, t) &= \frac{\omega}{c} B f(t) = 0 \\ \frac{\partial u}{\partial x}(l, t) &= \left(-\frac{\omega}{c} A \sin \frac{\omega l}{c} + \frac{\omega}{c} B \cos \frac{\omega l}{c} \right) f(t) = 0 \end{aligned} \quad (12)$$

Dalla prima delle (12) si ottiene $B = 0$, mentre dalla seconda si ricava l'equazione delle frequenze:

$$\sin \frac{\omega l}{c} = 0 \quad (13)$$

- *Pulsazioni proprie*

Le pulsazioni proprie si ricavano risolvendo la (13) rispetto ad ω :

$$\frac{\omega l}{c} = n\pi \quad \Rightarrow \quad \omega = \frac{n\pi c}{l} \quad n = 1, 2, 3, \dots \quad (14)$$

- *Modi principali di vibrare*

Tenendo presenti i risultati ottenuti in precedenza, l'espressione analitica dell'n-esimo modo principale di vibrare $U_n(x)$ risulta:

$$U_n(x) = C_n \cos \frac{n\pi x}{l} \quad (15)$$

dove C_n rappresenta una generica costante.

Caso c): Incastro - incastro

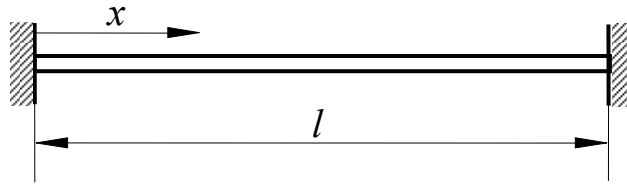


Figura 4

- *Condizioni al contorno*

In $x = 0$ lo spostamento è nullo, quindi:

$$u(0, t) = 0 \quad (16)$$

In $x = l$ lo spostamento è nullo, quindi:

$$u(l, t) = 0 \quad (17)$$

- *Equazione delle frequenze*

Per ricavare l'equazione delle frequenze applichiamo le condizioni al contorno sopra riportate:

$$u(0, t) = Af(t) = 0$$

$$u(x, t) = \left(A \cos \frac{\omega x}{c} + B \sin \frac{\omega x}{c} \right) f(t) \quad \Rightarrow \quad u(l, t) = \left(A \cos \frac{\omega l}{c} + B \sin \frac{\omega l}{c} \right) f(t) = 0 \quad (18)$$

Dalla prima delle (18) si ottiene $A = 0$, mentre dalla seconda si ricava l'equazione delle frequenze:

$$\sin \frac{\omega l}{c} = 0 \quad (19)$$

- *Pulsazioni proprie*

Le pulsazioni proprie si ricavano risolvendo la (19) rispetto ad ω :

$$\frac{\omega l}{c} = n\pi \quad \Rightarrow \quad \omega = \frac{n\pi c}{l} \quad n = 1, 2, 3, \dots \quad (20)$$

- *Modi principali di vibrare*

Tenendo presenti i risultati ottenuti in precedenza, l'espressione analitica dell'n-esimo modo principale di vibrare $U_n(x)$ risulta:

$$U_n(x) = C_n \sin \frac{n\pi x}{l} \quad (21)$$

dove C_n rappresenta una generica costante.

Esercizio 3 - Cod. VIB-041

Calcolare le prime tre frequenze proprie relative alle vibrazioni longitudinali delle aste di acciaio riportate nelle figure seguenti:

Caso a)

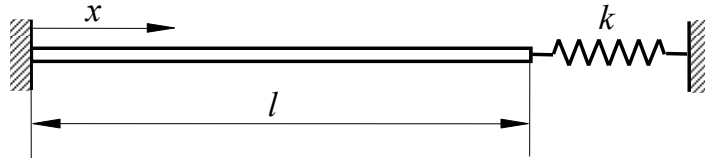


Figura 1

Caso b)

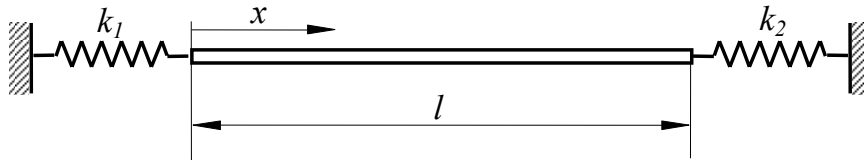


Figura 2

Dati

- Lunghezza $l = 1.5 \text{ m}$
- Modulo di Young dell'acciaio $E = 206000 \text{ N/mm}^2$
- Densità dell'acciaio $\rho = 7800 \text{ kg/m}^3$
- Diametro della sezione trasversale $d = 10 \text{ mm}$
- Rigidezza delle molle $k = 3 \times 10^7 \text{ N/m}$ $k_1 = 5 \times 10^7 \text{ N/m}$ $k_2 = 8 \times 10^7 \text{ N/m}$

Soluzione

Assumiamo per convenzione lo spostamento assiale u positivo verso destra e l'azione assiale N positiva a trazione (vedi Figura 3).

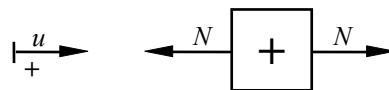


Figura 3

L'equazione delle vibrazioni assiali è la seguente:

$$u(x, t) = U(x)f(t) = \left(A \cos \frac{\omega x}{c} + B \sin \frac{\omega x}{c} \right) (C \cos \omega t + D \sin \omega t) \tag{1}$$

dove

$$c = \sqrt{\frac{E}{\rho}} \tag{2}$$

rappresenta la velocità di propagazione delle onde.
Esaminiamo ora separatamente i due casi.

Caso a)

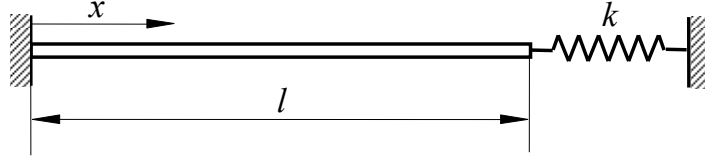


Figura 4

La condizione al contorno relativa all'estremo sinistro ($x = 0$) è:

$$u(0, t) = 0 \quad (3)$$

Imponendo tale condizione si ricava:

$$u(0, t) = Af(t) = 0 \quad \Rightarrow \quad A = 0 \quad (4)$$

La condizione sull'estremo destro ($x = l$) si può ottenere esprimendo l'equilibrio delle forze agenti sull'elemento terminale dell'asta: tali forze sono rappresentate dall'azione assiale $N(l, t)$ e dalla forza elastica $ku(l, t)$ esercitata dalla molla (vedi Figura 5).

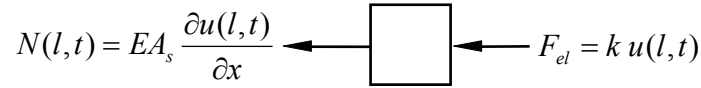


Figura 5 Estremo destro dell'asta

Se A_s indica l'area della sezione trasversale dell'asta, la condizione di equilibrio suddetta risulta:

$$EA_s \frac{\partial u}{\partial x}(l, t) + ku(l, t) = 0 \quad (5)$$

Tenendo conto della (4), la funzione $u(x, t)$ e la sua derivata parziale rispetto ad x risultano:

$$u(x, t) = \left(B \sin \frac{\omega x}{c} \right) f(t) \quad \frac{\partial u}{\partial x}(x, t) = \left(\frac{\omega}{c} B \cos \frac{\omega x}{c} \right) f(t) \quad (6)$$

Sostituendo le espressioni (6), calcolate in $x = l$, nella (5) e semplificando il termine $Bf(t)$ si ricava l'equazione delle frequenze per il sistema in esame:

$$EA_s \frac{\omega}{c} \cos \frac{\omega l}{c} + k \sin \frac{\omega l}{c} = 0 \quad (7)$$

Ponendo ora

$$\beta = \frac{\omega l}{c} = \omega l \sqrt{\frac{\rho}{E}} \quad (8)$$

l'equazione (7) può essere riscritta nella forma:

$$\tan \beta = -\frac{EA_s}{kl} \beta \quad (9)$$

L'equazione (9), risolta per via numerica, consente di ricavare i valori di corrispondenti alle pulsazioni proprie del sistema; per localizzare le soluzioni è conveniente rappresentare in forma grafica i due membri della (9):

Si osservi che, essendo $\beta > 0$, si considera solo il semiasse orizzontale positivo.

Indichiamo con β_1 , β_2 e β_3 le prime tre soluzioni della (9): dal grafico sopra riportato si deduce che:

$$\frac{\pi}{2} < \beta_1 < \pi \quad \frac{3}{2}\pi < \beta_2 < 2\pi \quad \frac{5}{2}\pi < \beta_3 < 3\pi \quad (10)$$

Con i dati numerici forniti dal testo si ottengono i seguenti risultati:

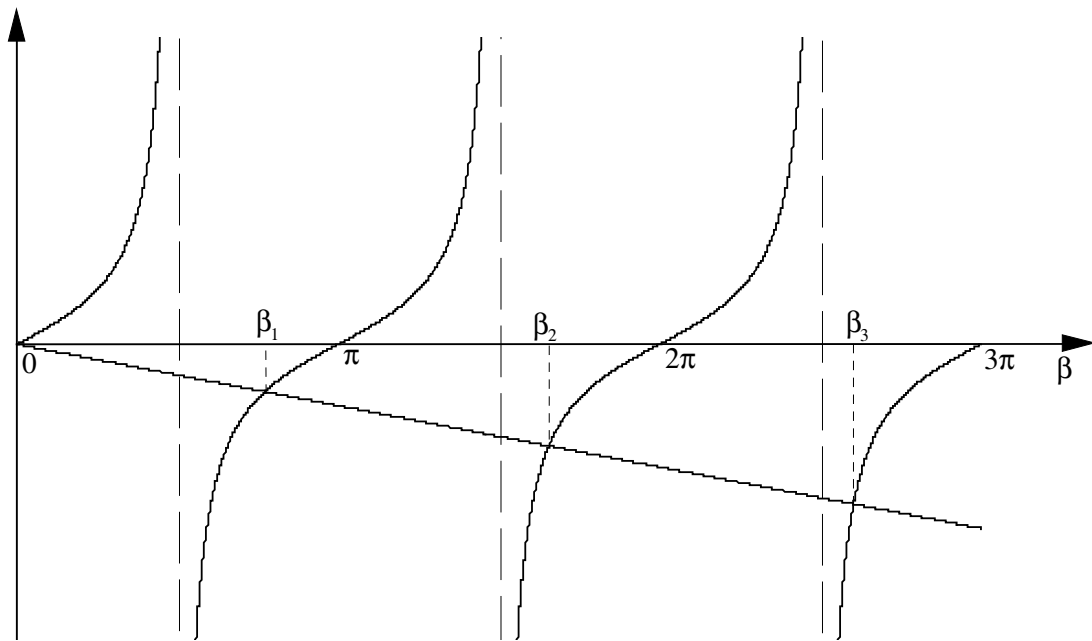


Figura 6

- Area della sezione trasversale dell'asta:

$$A_s = \frac{\pi d^2}{4} = \frac{\pi \times 0.01^2}{4} = 7.85 \times 10^{-5} \text{ m}^2 \quad (11)$$

- Coefficiente angolare della retta:

$$b = \frac{EA_s}{kl} = \frac{206000 \times 10^6 \times 7.85 \times 10^{-5}}{3 \times 10^7 \times 1.5} = 0.36 \quad (12)$$

Risolvendo numericamente la (9) si ottengono i valori di β sotto riportati:

$$\beta_1 = 2.425 \quad \beta_2 = 5.203 \quad \beta_3 = 8.182 \quad (13)$$

La velocità di propagazione delle onde si ricava dalla relazione (2):

$$c = \sqrt{\frac{E}{\rho}} = \sqrt{\frac{206000 \times 10^6}{7800}} = 5139 \text{ m/s} \quad (14)$$

Le pulsazioni proprie risultano pertanto:

$$\begin{aligned} \omega_1 &= \beta_1 \frac{c}{l} = 2.425 \times \frac{5139}{1.5} = 8307 \text{ rad/s} \\ \omega_2 &= \beta_2 \frac{c}{l} = 5.203 \times \frac{5139}{1.5} = 17827 \text{ rad/s} \\ \omega_3 &= \beta_3 \frac{c}{l} = 8.182 \times \frac{5139}{1.5} = 28031 \text{ rad/s} \end{aligned} \quad (15)$$

e le corrispondenti frequenze:

$$\begin{aligned} f_1 &= \frac{\omega_1}{2\pi} = \frac{8307}{2\pi} = 1322 \text{ Hz} \\ f_2 &= \frac{\omega_2}{2\pi} = \frac{17827}{2\pi} = 2837 \text{ Hz} \\ f_3 &= \frac{\omega_3}{2\pi} = \frac{28031}{2\pi} = 4461 \text{ Hz} \end{aligned} \quad (16)$$

Caso b)

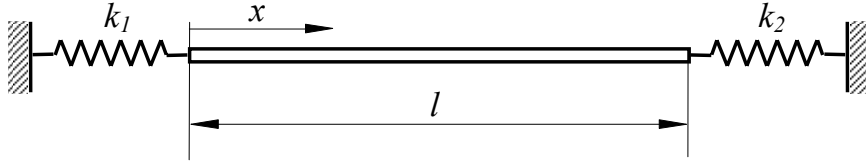


Figura 7

Le condizioni al contorno si ottengono mediante considerazioni di equilibrio per entrambi gli estremi; le forze in gioco sono evidenziate nelle figure seguenti:

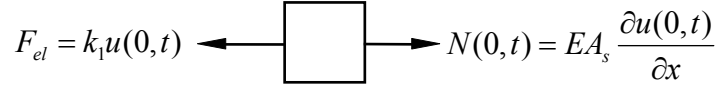


Figura 8 Estremo sinistro dell'asta.

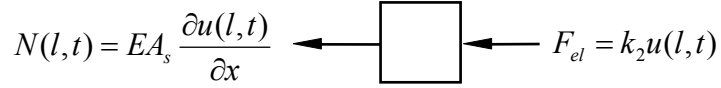


Figura 9 Estremo destro dell'asta.

Si ha pertanto:

$$\begin{aligned} EA_s \frac{\partial u}{\partial x}(0, t) - k_1 u(0, t) &= 0 \\ EA_s \frac{\partial u}{\partial x}(l, t) + k_2 u(l, t) &= 0 \end{aligned} \quad (17)$$

La funzione $u(x, t)$ e la sua derivata parziale rispetto ad x risultano:

$$\begin{aligned} u(x, t) &= \left(A \cos \frac{\omega x}{c} + B \sin \frac{\omega x}{c} \right) f(t) \\ \frac{\partial u}{\partial x}(x, t) &= \left(-\frac{\omega}{c} A \sin \frac{\omega x}{c} + \frac{\omega}{c} B \cos \frac{\omega x}{c} \right) f(t) \end{aligned} \quad (18)$$

Dalle (17) e (18), semplificando il termine $f(t)$, si ottiene il seguente sistema di equazioni:

$$\begin{cases} EA_s \frac{\omega}{c} B - k_1 A = 0 \\ EA_s \left(-\frac{\omega}{c} A \sin \frac{\omega l}{c} + \frac{\omega}{c} B \cos \frac{\omega l}{c} \right) + k_2 \left(A \cos \frac{\omega l}{c} + B \sin \frac{\omega l}{c} \right) = 0 \end{cases} \quad (19)$$

Per determinare l'equazione delle frequenze si può ricavare la costante A dalla prima delle (19) e sostituire il valore così ottenuto nella seconda equazione; dopo alcuni passaggi algebrici si perviene al seguente risultato:

$$\tan \beta = -\frac{a \left(1 + \frac{k_2}{k_1}\right) \beta}{k_2 - \frac{a^2}{k_1} \beta^2} \quad (20)$$

in cui β è dato dalla (8), mentre la costante a è definita dalla relazione:

$$a = \frac{EA_s}{l} \quad (21)$$

Possiamo osservare subito che, per $k_1 \rightarrow \infty$ e $k_2 = k$, l'equazione (20) si trasforma nella (9); ciò era prevedibile, dal momento che una molla di rigidità infinita impedisce qualsiasi spostamento assiale e risulta pertanto equivalente ad un incastro.

Anche in questo caso l'equazione delle frequenze (20) deve essere risolta per via numerica; per localizzare le soluzioni rappresentiamo graficamente i due membri dell'equazione suddetta:

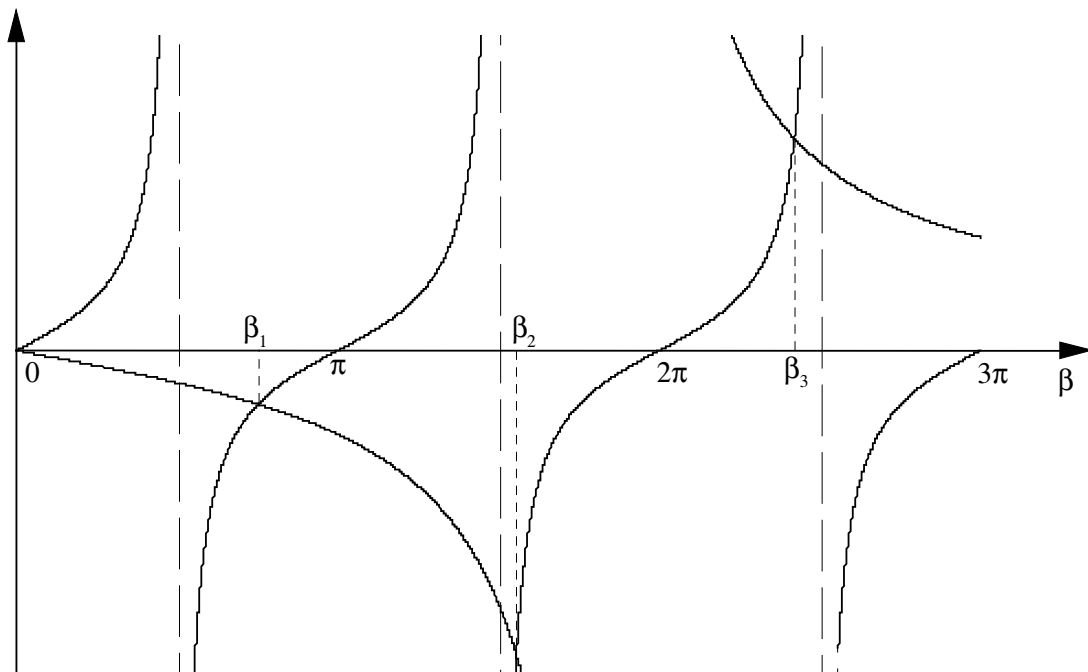


Figura 10

Indichiamo con β_1 , β_2 e β_3 le prime tre soluzioni della (20): dal grafico sopra riportato si deduce che:

$$\frac{\pi}{2} < \beta_1 < \pi \quad \frac{3}{2}\pi < \beta_2 < 2\pi \quad 2\pi < \beta_3 < \frac{5}{2}\pi \quad (22)$$

Con i dati numerici forniti dal testo la (20) assume la seguente espressione:

$$\tan \beta = -\frac{2.804 \beta}{8 - 0.233 \beta^2} \quad (23)$$

Risolvendo numericamente la (20) si ottengono i valori di β sotto riportati:

$$\beta_1 = 2.362 \quad \beta_2 = 4.888 \quad \beta_3 = 7.604 \quad (24)$$

Le pulsazioni proprie risultano pertanto:

$$\begin{aligned}\omega_1 &= \beta_1 \frac{c}{l} = 2.362 \times \frac{5139}{1.5} = 8092 \text{ rad/s} \\ \omega_2 &= \beta_2 \frac{c}{l} = 4.888 \times \frac{5139}{1.5} = 16748 \text{ rad/s} \\ \omega_3 &= \beta_3 \frac{c}{l} = 7.604 \times \frac{5139}{1.5} = 26051 \text{ rad/s}\end{aligned}\tag{25}$$

e le corrispondenti frequenze:

$$\begin{aligned}f_1 &= \frac{\omega_1}{2\pi} = \frac{8092}{2\pi} = 1288 \text{ Hz} \\ f_2 &= \frac{\omega_2}{2\pi} = \frac{16748}{2\pi} = 2666 \text{ Hz} \\ f_3 &= \frac{\omega_3}{2\pi} = \frac{26051}{2\pi} = 4146 \text{ Hz}\end{aligned}\tag{26}$$

Confrontando i valori delle frequenze proprie ottenuti nei due casi, si osserva che i valori relativi al caso b) sono più bassi rispetto ai corrispondenti valori dal caso a); questo risultato era prevedibile, dal momento che la rigidità del sistema diminuisce, passando dal caso a) al caso b), in seguito all'introduzione della seconda molla.

Esercizio 4 - Cod. VIB-042

Calcolare le prime tre frequenze proprie relative alle vibrazioni assiali di un'asta di acciaio con un estremo incastrato, alla quale è fissata una massa concentrata M in corrispondenza dell'estremo libero.

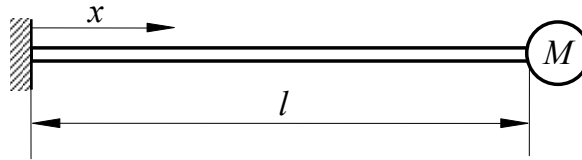


Figura 1

Dati

- Lunghezza dell'asta $l = 0.75$ m
- Modulo di Young dell'acciaio $E = 206000$ N/mm²
- Densità dell'acciaio $\rho = 7800$ kg/m³
- Diametro della sezione trasversale dell'asta $d = 10$ mm
- Massa applicata all'estremità destra dell'asta $M = 1.5$ kg

Soluzione

Assumiamo per convenzione lo spostamento assiale u positivo verso destra e l'azione assiale N positiva a trazione (vedi Figura 2).

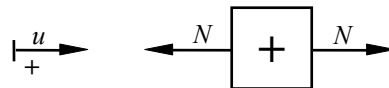


Figura 2

L'equazione delle vibrazioni assiali è la seguente:

$$u(x, t) = U(x)f(t) = \left(A \cos \frac{\omega x}{c} + B \sin \frac{\omega x}{c} \right) (C \cos \omega t + D \sin \omega t) \tag{1}$$

dove

$$c = \sqrt{\frac{E}{\rho}} \tag{2}$$

rappresenta la velocità di propagazione delle onde.

La condizione al contorno relativa all'estremo sinistro ($x = 0$) è:

$$u(0, t) = 0 \tag{3}$$

Imponendo tale condizione si ricava:

$$u(0, t) = Af(t) = 0 \quad \Rightarrow \quad A = 0 \tag{4}$$

La condizione sull'estremo destro ($x = l$) si può ottenere esprimendo l'equilibrio delle forze agenti sulla massa concentrata; tali forze sono rappresentate dall'azione assiale $N(l, t)$ e dalla forza d'inerzia $F_i(l, t)$ generata dalla massa stessa (vedi Figura 3).

Si ha pertanto:

$$EA_s \frac{\partial u}{\partial x}(l, t) + M \frac{\partial^2 u}{\partial t^2}(l, t) = 0 \tag{5}$$

$$N(l,t) = EA_s \frac{\partial u(l,t)}{\partial x} \quad F_i = M \frac{\partial^2 u(l,t)}{\partial t^2}$$

Figura 3

dove A_s indica l'area della sezione trasversale dell'asta.

Poiché la costante A è nulla (vedi equazione (4)), la derivata parziale rispetto ad x della funzione $u(x,t)$ risulta:

$$\frac{\partial u}{\partial x}(x,t) = \frac{dU(x)}{dx} f(t) = \left(\frac{\omega}{c} B \cos \frac{\omega x}{c} \right) f(t) \quad (6)$$

Per quanto riguarda la derivata parziale seconda rispetto al tempo possiamo scrivere:

$$\frac{\partial^2 u}{\partial t^2}(x,t) = U(x) \frac{d^2 f(t)}{dt^2} = -\omega^2 U(x) f(t) = -\omega^2 \left(B \sin \frac{\omega x}{c} \right) f(t) \quad (7)$$

Sostituendo le (6) e (7), calcolate in $x = l$, nella (5) e semplificando, si ottiene l'equazione seguente:

$$\frac{EA_s}{c} \cos \frac{\omega l}{c} - M\omega \sin \frac{\omega l}{c} = 0 \quad (8)$$

Poiché risulta $E = \rho c^2$ (vedi equazione (2)) possiamo riscrivere la (8) nella forma:

$$\frac{\rho A_s l}{M} \cos \frac{\omega l}{c} = \frac{\omega l}{c} \sin \frac{\omega l}{c} \quad (9)$$

Si osservi che il prodotto $m = \rho A_s l$ rappresenta la massa propria dell'asta.

Definendo ora le costanti

$$h = \frac{\rho A_s l}{M} = \frac{m}{M} \quad \beta = \frac{\omega l}{c} = \omega l \sqrt{\frac{\rho}{E}} \quad (10)$$

l'equazione (9) diventa:

$$\tan \beta = \frac{h}{\beta} \quad (11)$$

L'equazione (11), risolta per via numerica, fornisce i valori di β corrispondenti alle pulsazioni proprie del sistema in esame; la rappresentazione grafica dei due membri della (11) è riportata nella Figura 4:

Si noti che, essendo $\beta > 0$, si considera soltanto il semiasse orizzontale positivo.

Indichiamo con β_1 , β_2 e β_3 le prime tre soluzioni della (11): dal grafico sopra riportato si deduce che:

$$0 < \beta_1 < \frac{\pi}{2} \quad \pi < \beta_2 < \frac{3}{2}\pi \quad 2\pi < \beta_3 < \frac{5}{2}\pi \quad (12)$$

Con i dati numerici assegnati dal problema si ha:

$$A_s = \frac{\pi d^2}{4} = \frac{\pi \times 0.01^2}{4} = 7.85 \times 10^{-5} \text{ m}^2 \quad (13)$$

$$h = \frac{\rho A_s l}{M} = \frac{7800 \times 7.85 \times 10^{-5} \times 0.75}{1.5} = 0.306 \quad (14)$$

$$\beta_1 = 0.527 \quad \beta_2 = 3.236 \quad \beta_3 = 6.332 \quad (15)$$

La velocità di propagazione delle onde si ricava dalla relazione (2):

$$c = \sqrt{\frac{E}{\rho}} = \sqrt{\frac{206000 \times 10^6}{7800}} = 5139 \text{ m/s} \quad (16)$$

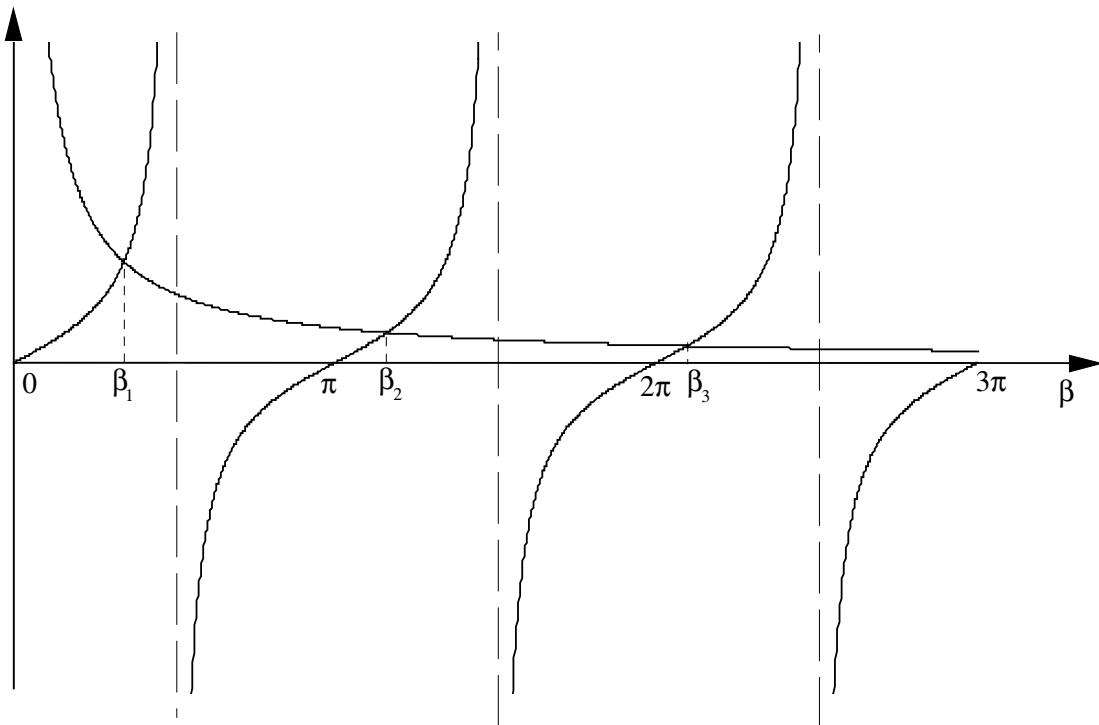


Figura 4

Le pulsazioni proprie risultano pertanto:

$$\begin{aligned}
 \omega_1 &= \beta_1 \frac{c}{l} = 0.527 \times \frac{5139}{0.75} = 3609 \text{ rad/s} \\
 \omega_2 &= \beta_2 \frac{c}{l} = 3.236 \times \frac{5139}{0.75} = 22173 \text{ rad/s} \\
 \omega_3 &= \beta_3 \frac{c}{l} = 6.332 \times \frac{5139}{0.75} = 43384 \text{ rad/s}
 \end{aligned} \tag{17}$$

e le corrispondenti frequenze:

$$\begin{aligned}
 f_1 &= \frac{\omega_1}{2\pi} = \frac{3609}{2\pi} = 574 \text{ Hz} \\
 f_2 &= \frac{\omega_2}{2\pi} = \frac{22173}{2\pi} = 3529 \text{ Hz} \\
 f_3 &= \frac{\omega_3}{2\pi} = \frac{43384}{2\pi} = 6905 \text{ Hz}
 \end{aligned} \tag{18}$$

Se si trascura la massa dell'asta, si ottiene un sistema ad un solo grado di libertà del tipo illustrato in Figura 5:

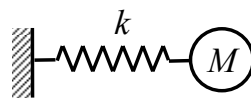


Figura 5

La costante elastica k rappresenta la rigidità assiale dell'asta e vale:

$$k = \frac{EA_s}{l} \tag{19}$$

La pulsazione propria è pertanto:

$$\omega = \sqrt{\frac{k}{M}} = \sqrt{\frac{EA_s}{Ml}} = \sqrt{\frac{206000 \times 10^6 \times 7.85 \times 10^{-5}}{1.5 \times 0.75}} = 3792 \text{ rad/s} \quad (20)$$

L'errore percentuale commesso sul calcolo della prima frequenza propria è:

$$\varepsilon = \frac{\omega - \omega_1}{\omega_1} \times 100 = \frac{3792 - 3609}{3609} \times 100 \cong 5\% \quad (21)$$

Esercizio 5 - Cod. VIB-043

Si considerino le vibrazioni torsionali di un'asta omogenea di lunghezza l , avente sezione trasversale uniforme con momento d'inerzia polare J_p , vincolata nei modi indicati in Figura 1:

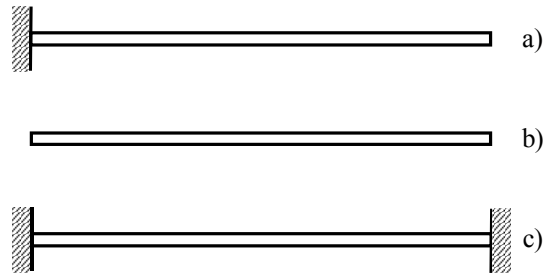


Figura 1 Condizioni di vincolo: a) incastro - estremo libero; b)estremo libero - estremo libero; c) incastro - incastro.

Siano ρ e G rispettivamente la densità ed il modulo di elasticità tangenziale del materiale costituente l'asta; per ciascuna delle condizioni di vincolo specificate si chiede di determinare:

- le condizioni al contorno;
- l'equazione delle frequenze;
- le pulsazioni proprie;
- i modi principali di vibrare.

Soluzione

Indicando con $\vartheta(x, t)$ la rotazione di una generica sezione dell'asta, l'equazione delle vibrazioni torsionali risulta:

$$\vartheta(x, t) = \Theta(x)f(t) = \left(A \cos \frac{\omega x}{c} + B \sin \frac{\omega x}{c} \right) (C \cos \omega t + D \sin \omega t) \quad (1)$$

dove

$$c = \sqrt{\frac{G}{\rho}} \quad (2)$$

rappresenta la velocità di propagazione dell'onda lungo l'asta.
Esaminiamo ora le condizioni di vincolo sopra riportate.

Caso a): Incastro - estremo libero

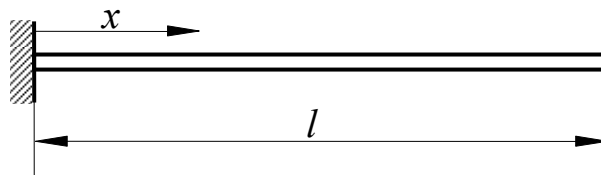


Figura 2

- *Condizioni al contorno*

In $x = 0$ la rotazione è nulla, quindi:

$$\vartheta(0, t) = 0 \quad (3)$$

In $x = l$ il momento torcente M_t è nullo, quindi:

$$M_t(l, t) = GJ_p \frac{\partial \vartheta}{\partial x}(l, t) = 0 \quad \Rightarrow \quad \frac{\partial \vartheta}{\partial x}(l, t) = 0 \quad (4)$$

- *Equazione delle frequenze*

Per ricavare l'equazione delle frequenze applichiamo le condizioni al contorno sopra riportate:

$$\vartheta(x, t) = \left(A \cos \frac{\omega x}{c} + B \sin \frac{\omega x}{c} \right) f(t) \quad \Rightarrow \quad \vartheta(0, t) = Af(t) = 0 \quad (5)$$

$$\frac{\partial \vartheta}{\partial x}(x, t) = \left(-\frac{\omega}{c} A \sin \frac{\omega x}{c} + \frac{\omega}{c} B \cos \frac{\omega x}{c} \right) f(t) \quad \Rightarrow \quad \frac{\partial \vartheta}{\partial x}(l, t) = \left(\frac{\omega}{c} B \cos \frac{\omega l}{c} \right) f(t) = 0 \quad (6)$$

Dalla (5) si deduce che deve essere $A = 0$, mentre dalla (6) si ricava l'equazione delle frequenze:

$$\cos \frac{\omega l}{c} = 0 \quad (7)$$

- *Pulsazioni proprie*

Le pulsazioni proprie si ricavano risolvendo la (7) rispetto ad ω :

$$\frac{\omega l}{c} = (2n + 1) \frac{\pi}{2} \quad \Rightarrow \quad \omega = \frac{(2n + 1)\pi c}{2l} \quad n = 0, 1, 2, 3, \dots \quad (8)$$

- *Modi principali di vibrare*

Tenendo presenti i risultati ottenuti in precedenza, l'espressione analitica dell' n-esimo modo principale di vibrare $\Theta_n(x)$ risulta:

$$\Theta_n(x) = C_n \sin \frac{(2n + 1)\pi x}{2l} \quad (9)$$

dove C_n rappresenta una generica costante.

Caso b): Estremo libero - estremo libero

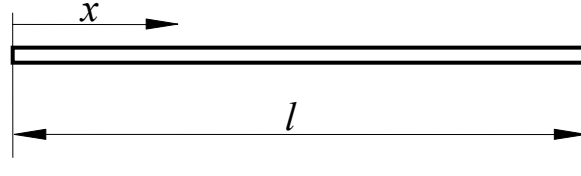


Figura 3

- *Condizioni al contorno*

In $x = 0$ il momento torcente M_t è nullo, quindi:

$$M_t(0, t) = GJ_p \frac{\partial \vartheta}{\partial x}(0, t) = 0 \quad \Rightarrow \quad \frac{\partial \vartheta}{\partial x}(0, t) = 0 \quad (10)$$

In $x = l$ il momento torcente M_t è nullo, quindi:

$$M_t(l, t) = GJ_p \frac{\partial \vartheta}{\partial x}(l, t) = 0 \quad \Rightarrow \quad \frac{\partial \vartheta}{\partial x}(l, t) = 0 \quad (11)$$

- *Equazione delle frequenze*

Per ricavare l'equazione delle frequenze applichiamo le condizioni al contorno sopra riportate:

$$\frac{\partial \vartheta}{\partial x}(x, t) = \left(-\frac{\omega}{c} A \sin \frac{\omega x}{c} + \frac{\omega}{c} B \cos \frac{\omega x}{c} \right) f(t) \quad \Rightarrow \quad \begin{aligned} \frac{\partial \vartheta}{\partial x}(0, t) &= \frac{\omega}{c} B f(t) = 0 \\ \frac{\partial \vartheta}{\partial x}(l, t) &= \left(-\frac{\omega}{c} A \sin \frac{\omega l}{c} + \frac{\omega}{c} B \cos \frac{\omega l}{c} \right) f(t) = 0 \end{aligned} \quad (12)$$

Dalla prima delle (12) si ottiene $B = 0$, mentre dalla seconda si ricava l'equazione delle frequenze:

$$\sin \frac{\omega l}{c} = 0 \quad (13)$$

- *Pulsazioni proprie*

Le pulsazioni proprie si ricavano risolvendo la (13) rispetto ad ω :

$$\frac{\omega l}{c} = n\pi \quad \Rightarrow \quad \omega = \frac{n\pi c}{l} \quad n = 1, 2, 3, \dots \quad (14)$$

- *Modi principali di vibrare*

Tenendo presenti i risultati ottenuti in precedenza, l'espressione analitica dell' n-esimo modo principale di vibrare $\Theta_n(x)$ risulta:

$$\Theta_n(x) = C_n \cos \frac{n\pi x}{l} \quad (15)$$

dove C_n rappresenta una generica costante.

Caso c): Incastro - incastro

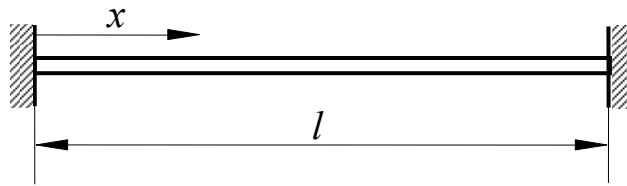


Figura 4

- *Condizioni al contorno*

In $x = 0$ lo spostamento è nullo, quindi:

$$\vartheta(0, t) = 0 \quad (16)$$

In $x = l$ lo spostamento è nullo, quindi:

$$\vartheta(l, t) = 0 \quad (17)$$

- *Equazione delle frequenze*

Per ricavare l'equazione delle frequenze applichiamo le condizioni al contorno sopra riportate:

$$\begin{aligned} \vartheta(0, t) = Af(t) = 0 \\ \vartheta(x, t) = \left(A \cos \frac{\omega x}{c} + B \sin \frac{\omega x}{c} \right) f(t) \quad \Rightarrow \\ \vartheta(l, t) = \left(A \cos \frac{\omega l}{c} + B \sin \frac{\omega l}{c} \right) f(t) = 0 \end{aligned} \quad (18)$$

Dalla prima delle (18) si ottiene $A = 0$, mentre dalla seconda si ricava l'equazione delle frequenze:

$$\sin \frac{\omega l}{c} = 0 \quad (19)$$

- *Pulsazioni proprie*

Le pulsazioni proprie si ricavano risolvendo la (19) rispetto ad ω :

$$\frac{\omega l}{c} = n\pi \quad \Rightarrow \quad \omega = \frac{n\pi c}{l} \quad n = 1, 2, 3, \dots \quad (20)$$

- *Modi principali di vibrare*

Tenendo presenti i risultati ottenuti in precedenza, l'espressione analitica dell'n-esimo modo principale di vibrare $\Theta_n(x)$ risulta:

$$\Theta_n(x) = C_n \sin \frac{n\pi x}{l} \quad (21)$$

dove C_n rappresenta una generica costante.

Esercizio 6 - Cod. VIB-044

Calcolare le prime tre frequenze proprie relative alle vibrazioni torsionali di un'asta di acciaio con un estremo incastrato, alla quale è fissato un disco di momento d'inerzia J_D in corrispondenza dell'estremo libero.

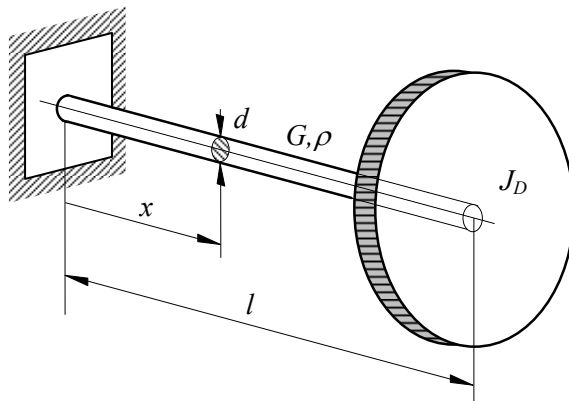


Figura 1

Dati

- Lunghezza dell'asta $l = 1.2$ m
- Modulo di elasticità tangenziale dell'acciaio $G = 80000$ N/mm²
- Densità dell'acciaio $\rho = 7800$ kg/m³
- Diametro della sezione trasversale dell'asta $d = 20$ mm
- Momento d'inerzia del disco applicato all'estremità libera dell'asta $J_D = 2.25 \times 10^{-4}$ kg m²

Soluzione

Per la risoluzione del problema adottiamo le convenzioni di segno indicate nella Figura 2:

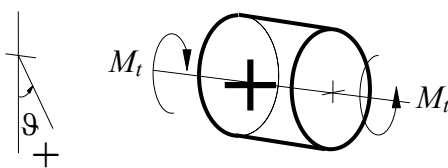


Figura 2

L'equazione delle vibrazioni torsionali è la seguente:

$$\vartheta(x, t) = \Theta(x)f(t) = \left(A \cos \frac{\omega x}{c} + B \sin \frac{\omega x}{c} \right) (C \cos \omega t + D \sin \omega t) \quad (1)$$

dove

$$c = \sqrt{\frac{G}{\rho}} \quad (2)$$

rappresenta la velocità di propagazione delle onde.

La condizione al contorno relativa all'estremo incastrato ($x = 0$) è:

$$\vartheta(0, t) = 0 \quad (3)$$

Imponendo tale condizione si ricava:

$$\vartheta(0, t) = Af(t) = 0 \quad \Rightarrow \quad A = 0 \quad (4)$$

La condizione sull'altro estremo ($x = l$) si può ottenere esprimendo l'equilibrio delle coppie agenti sul disco; tali coppie sono rappresentate dal momento torcente $M_t(l, t)$ e dalla coppia d'inerzia $C_i(l, t)$ generata dal disco stesso (vedi Figura 3).

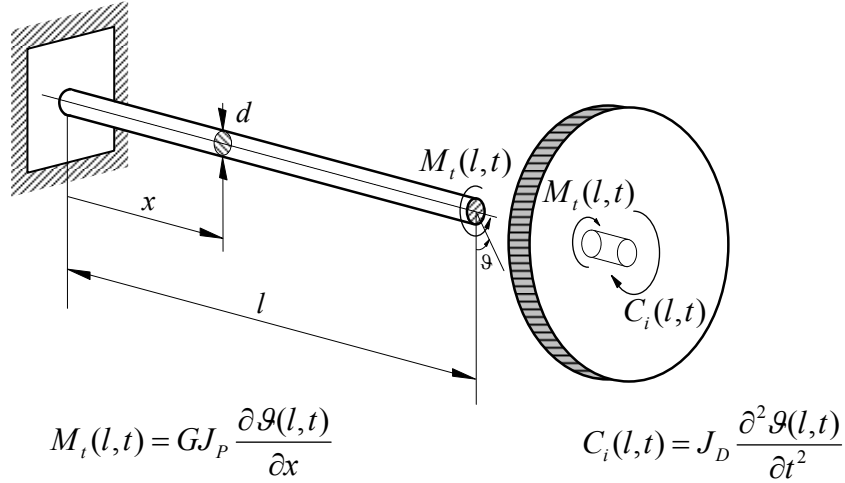


Figura 3

Si ha pertanto:

$$GJ_p \frac{\partial \vartheta}{\partial x}(l, t) + J_D \frac{\partial^2 \vartheta}{\partial t^2}(l, t) = 0 \quad (5)$$

dove J_p indica il momento d'inerzia polare della sezione trasversale dell'asta.

Poiché la costante A è nulla (vedi equazione (4)), la derivata parziale rispetto ad x della funzione $\vartheta(x, t)$ risulta:

$$\frac{\partial \vartheta}{\partial x}(x, t) = \frac{d\Theta(x)}{dx} f(t) = \left(\frac{\omega}{c} B \cos \frac{\omega x}{c} \right) f(t) \quad (6)$$

Per quanto riguarda la derivata parziale seconda rispetto al tempo possiamo scrivere:

$$\frac{\partial^2 \vartheta}{\partial t^2}(x, t) = \Theta(x) \frac{d^2 f(t)}{dt^2} = -\omega^2 \Theta(x) f(t) = -\omega^2 \left(B \sin \frac{\omega x}{c} \right) f(t) \quad (7)$$

Sostituendo le (6) e (7), calcolate in $x = l$, nella (5) e semplificando, si ottiene l'equazione seguente:

$$\frac{GJ_p}{c} \cos \frac{\omega l}{c} - J_D \omega \sin \frac{\omega l}{c} = 0 \quad (8)$$

Poiché risulta $G = \rho c^2$ (vedi equazione (2)) possiamo riscrivere la (8) nella forma:

$$\frac{\rho J_p l}{J_D} \cos \frac{\omega l}{c} = \frac{\omega l}{c} \sin \frac{\omega l}{c} \quad (9)$$

Si osservi che il momento d'inerzia di massa dell'asta attorno al proprio asse risulta pari a²:

$$J_{asta} = \rho J_p l \quad (10)$$

Ponendo:

$$h = \frac{\rho J_p l}{J_D} = \frac{J_{asta}}{J_D} \quad \beta = \frac{\omega l}{c} = \omega l \sqrt{\frac{\rho}{G}} \quad (11)$$

l'equazione (9) diventa:

$$\tan \beta = \frac{h}{\beta} \quad (12)$$

L'equazione (12), risolta per via numerica, fornisce i valori di β corrispondenti alle pulsazioni proprie del sistema in esame; la rappresentazione grafica dei due membri della (12) è riportata nella Figura 4:

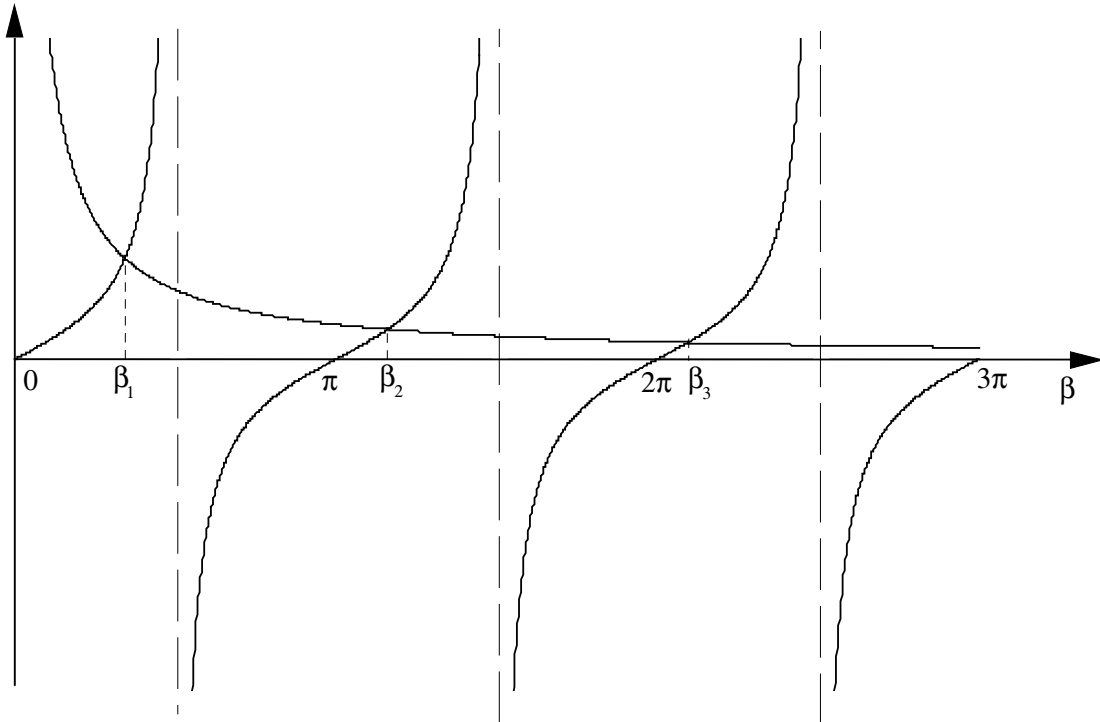


Figura 4

Si noti che, essendo $\beta > 0$, si considera soltanto il semiasse orizzontale positivo.

Indichiamo con β_1 , β_2 e β_3 le prime tre soluzioni della (12): dal grafico sopra riportato si deduce che:

$$0 < \beta_1 < \frac{\pi}{2} \quad \pi < \beta_2 < \frac{3}{2}\pi \quad 2\pi < \beta_3 < \frac{5}{2}\pi \quad (13)$$

²Applicando la definizione, il momento d'inerzia polare della sezione dell'asta vale:

$$J_p = \int_A r^2 dA \quad [\text{m}^4]$$

Sempre applicando la definizione, il momento d'inerzia di massa dell'asta vale:

$$J_{asta} = \int_m r^2 dm = \rho l \int_A r^2 dA = \rho l J_p \quad [\text{kg m}^2]$$

essendo $dm = \rho dV = \rho l dA$ (m = massa, V = volume, A = area).

Per una sezione circolare di diametro d il momento d'inerzia polare vale:

$$J_p = \int_A r^2 dA = \int_0^{d/2} r^2 2\pi r dr = \frac{\pi d^4}{32}$$

Con i dati numerici assegnati dal problema si ha:

$$J_p = \frac{\pi d^4}{32} = \frac{\pi \times 0.02^4}{32} = 1.571 \times 10^{-8} \text{ m}^4 \quad (14)$$

$$h = \frac{\rho J_p l}{J_D} = \frac{7800 \times 1.571 \times 10^{-8} \times 1.2}{2.25 \times 10^{-4}} = 0.653 \quad (15)$$

$$\beta_1 = 0.730 \quad \beta_2 = 3.335 \quad \beta_3 = 6.385 \quad (16)$$

La velocità di propagazione delle onde si ricava dalla relazione (2):

$$c = \sqrt{\frac{G}{\rho}} = \sqrt{\frac{80000 \times 10^6}{7800}} = 3203 \text{ m/s} \quad (17)$$

Le pulsazioni proprie risultano pertanto:

$$\begin{aligned} \omega_1 &= \beta_1 \frac{c}{l} = 0.730 \times \frac{3203}{1.2} = 1948 \text{ rad/s} \\ \omega_2 &= \beta_2 \frac{c}{l} = 3.335 \times \frac{3203}{1.2} = 8901 \text{ rad/s} \\ \omega_3 &= \beta_3 \frac{c}{l} = 6.385 \times \frac{3203}{1.2} = 17041 \text{ rad/s} \end{aligned} \quad (18)$$

e le corrispondenti frequenze:

$$\begin{aligned} f_1 &= \frac{\omega_1}{2\pi} = \frac{1948}{2\pi} = 310 \text{ Hz} \\ f_2 &= \frac{\omega_2}{2\pi} = \frac{8901}{2\pi} = 1417 \text{ Hz} \\ f_3 &= \frac{\omega_3}{2\pi} = \frac{17041}{2\pi} = 2712 \text{ Hz} \end{aligned} \quad (19)$$

Se si trascura la massa dell'asta, si ottiene un sistema ad un solo grado di libertà del tipo illustrato in Figura 5 (disco incernierato a terra soggetto alla coppia generata da una molla torsionale).

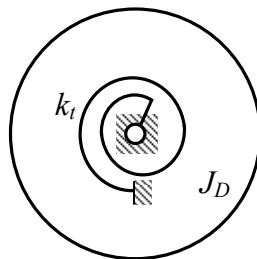


Figura 5

La costante elastica k_t rappresenta la rigidezza torsionale dell'asta e vale:

$$k = \frac{G J_p}{l} \quad (20)$$

La pulsazione propria è pertanto:

$$\omega = \sqrt{\frac{k_t}{J_D}} = \sqrt{\frac{G J_p}{J_D l}} = \sqrt{\frac{80000 \times 10^6 \times 1.571 \times 10^{-8}}{2.25 \times 10^{-4} \times 1.2}} = 2157 \text{ rad/s} \quad (21)$$

L'errore percentuale commesso sul calcolo della prima frequenza propria è:

$$\varepsilon = \frac{\omega - \omega_1}{\omega_1} \times 100 = \frac{2157 - 1948}{1948} \times 100 \cong 10.7\% \quad (22)$$

Esercizio 7 - Cod. VIB-045

Calcolare le prime tre pulsazioni proprie ed i modi principali di vibrare relativi alle vibrazioni trasversali della trave sotto riportata.

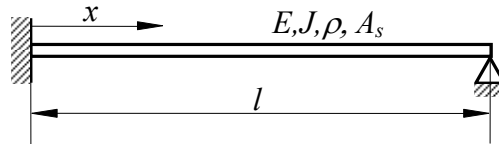


Figura 1

Soluzione

Indichiamo con:

- $y(x, t)$ lo spostamento verticale di una generica sezione della trave;
- $\varphi(x, t)$ la rotazione di una generica sezione della trave;
- $M(x, t)$ il momento flettente agente in una generica sezione della trave;
- $T(x, t)$ la forza di taglio in una generica sezione della trave.

Per la risoluzione del problema adottiamo le convenzioni di segno indicate in Figura 2:



Figura 2

L'equazione delle vibrazioni trasversali è la seguente:

$$y(x, t) = Y(x)f(t) = (A \cos \beta x + B \sin \beta x + C \cosh \beta x + D \sinh \beta x)(E \cos \omega t + F \sin \omega t) \quad (1)$$

dove:

$$\beta = \sqrt[4]{\frac{\omega^2 \rho A_s}{EJ}} \quad (2)$$

Le condizioni al contorno relative all'estremo incastrato ($x = 0$) sono:

$$\begin{cases} y(0, t) = 0 \\ \varphi(0, t) = \frac{\partial y}{\partial x}(0, t) = 0 \end{cases} \quad (3)$$

Le condizioni al contorno relative all'estremo appoggiato ($x = l$) sono invece:

$$\begin{cases} M(l, t) = EJ \frac{\partial^2 y}{\partial x^2}(l, t) = 0 \\ y(l, t) = 0 \end{cases} \quad (4)$$

Per imporre le condizioni suddette occorre effettuare il calcolo delle derivate parziali rispetto ad x (prima e seconda) della funzione $y(x, t)$:

$$\frac{\partial y}{\partial x}(x, t) = \beta(-A \sin \beta x + B \cos \beta x + C \sinh \beta x + D \cosh \beta x)f(t) \quad (5)$$

$$\frac{\partial^2 y}{\partial x^2}(x, t) = \beta^2(-A \cos \beta x - B \sin \beta x + C \cosh \beta x + D \sinh \beta x)f(t) \quad (6)$$

Utilizzando ora le espressioni di $y(x, t)$ e delle sue derivate nelle condizioni al contorno (3) e (4), si ottiene, dopo opportune semplificazioni, il seguente sistema di equazioni:

$$\begin{cases} A + C = 0 \\ B + D = 0 \\ -A \cos \beta l - B \sin \beta l + C \cosh \beta l + D \sinh \beta l = 0 \\ A \cos \beta l + B \sin \beta l + C \cosh \beta l + D \sinh \beta l = 0 \end{cases} \quad (7)$$

Ricavando dalle prime due equazioni del sistema (7) i valori delle costanti C e D e sostituendoli nelle rimanenti equazioni, si perviene al seguente sistema:

$$\begin{cases} A(\cos \beta l + \cosh \beta l) + B(\sin \beta l + \sinh \beta l) = 0 \\ A(\cos \beta l - \cosh \beta l) + B(\sin \beta l - \sinh \beta l) = 0 \end{cases} \quad (8)$$

Affinché tale sistema abbia una soluzione non banale è necessario che sia nullo il determinante della matrice dei coefficienti:

$$\begin{vmatrix} (\cos \beta l + \cosh \beta l) & (\sin \beta l + \sinh \beta l) \\ (\cos \beta l - \cosh \beta l) & (\sin \beta l - \sinh \beta l) \end{vmatrix} = 0 \quad (9)$$

Ponendo, per semplicità $\alpha = \beta l$ e sviluppando il determinante, si ricava, dopo semplici passaggi, l'equazione delle frequenze sotto riportata:

$$\cos \alpha \sinh \alpha - \sin \alpha \cosh \alpha = 0 \quad (10)$$

ovvero:

$$\tanh \alpha = \tan \alpha \quad (11)$$

L'equazione (11), risolta per via numerica, fornisce i valori di α corrispondenti alle pulsazioni proprie del sistema in esame; la rappresentazione grafica dei due membri della (11) è riportata in Figura 3:

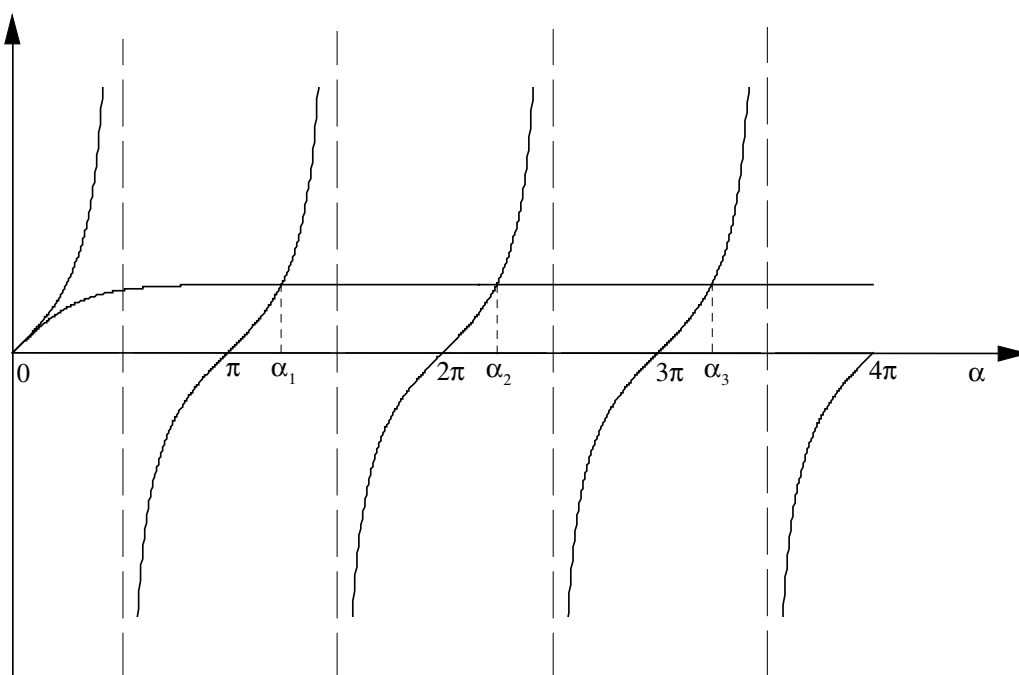


Figura 3

Si noti che, essendo $\alpha > 0$, si considera soltanto il semiasse orizzontale positivo.

Indichiamo con α_1 , α_2 e α_3 le prime tre soluzioni della (11): dal grafico sopra riportato si deduce che:

$$\pi < \alpha_1 < \frac{3}{2}\pi \quad 2\pi < \alpha_2 < \frac{5}{2}\pi \quad 3\pi < \alpha_3 < \frac{7}{2}\pi \quad (12)$$

La soluzione numerica della (11) fornisce i seguenti risultati:

$$\begin{aligned}\alpha_1 &= \beta_1 l = 3.927 \\ \alpha_2 &= \beta_2 l = 7.069 \\ \alpha_3 &= \beta_3 l = 10.21\end{aligned}\quad (13)$$

Le pulsazioni proprie si ricavano risolvendo la (2) rispetto ad ω :

$$\omega_n = \beta_n^2 \sqrt{\frac{EJ}{\rho A_s}} \quad n = 1.2.3. \dots \quad (14)$$

Per il calcolo dei modi principali di vibrare possiamo procedere come segue:

- ricaviamo la costante B dalla seconda delle (8):

$$B = -A \left(\frac{\cos \beta l - \cosh \beta l}{\sin \beta l - \sinh \beta l} \right) \quad (15)$$

- riscriviamo l'espressione di $Y(x)$ tenendo presente che $C = -A$ e $D = -B$:

$$Y(x) = A(\cos \beta x - \cosh \beta x) + B(\sin \beta x - \sinh \beta x) \quad (16)$$

- sostituiamo la (15) nella (16):

$$Y(x) = A \left[(\cos \beta x - \cosh \beta x) - \left(\frac{\cos \beta l - \cosh \beta l}{\sin \beta l - \sinh \beta l} \right) (\sin \beta x - \sinh \beta x) \right] \quad (17)$$

Con riferimento all' n -esimo modo di vibrare potremo quindi scrivere:

$$Y_n(x) = A_n \left[(\cos \beta_n x - \cosh \beta_n x) - \left(\frac{\cos \beta_n l - \cosh \beta_n l}{\sin \beta_n l - \sinh \beta_n l} \right) (\sin \beta_n x - \sinh \beta_n x) \right] \quad (18)$$

$$y_n(x, t) = Y_n(x) f_n(t) = Y_n(x) (E_n \cos \omega_n t + F_n \sin \omega_n t) \quad (19)$$

Nelle figure seguenti sono rappresentate le deformate della trave relative ai primi tre modi di vibrare.

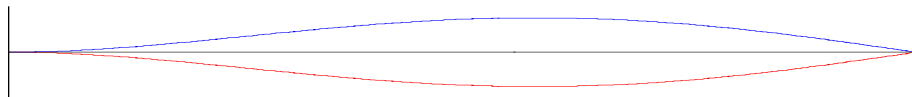


Figura 4: Primo modo di vibrare.

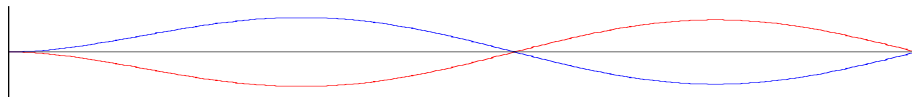


Figura 5: Secondo modo di vibrare.

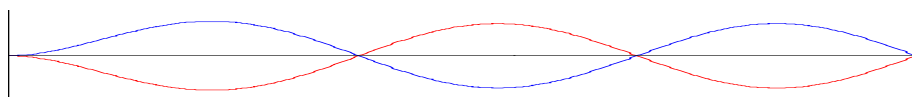


Figura 6: Terzo modo di vibrare.

Esercizio 8 - Cod. VIB-046

Calcolare le prime tre pulsazioni proprie ed i modi principali di vibrare relativi alle vibrazioni trasversali della trave sotto riportata.

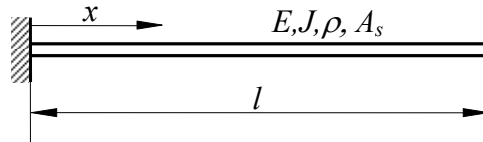


Figura 1

Soluzione

Indichiamo con:

- $y(x, t)$ lo spostamento verticale di una generica sezione della trave;
- $\varphi(x, t)$ la rotazione di una generica sezione della trave;
- $M(x, t)$ il momento flettente agente in una generica sezione della trave;
- $T(x, t)$ la forza di taglio in una generica sezione della trave.

Per la risoluzione del problema adottiamo le convenzioni di segno indicate in Figura 2:



Figura 2

L'equazione delle vibrazioni trasversali è la seguente:

$$y(x, t) = Y(x)f(t) = (A \cos \beta x + B \sin \beta x + C \cosh \beta x + D \sinh \beta x)(E \cos \omega t + F \sin \omega t) \quad (1)$$

dove:

$$\beta = \sqrt[4]{\frac{\omega^2 \rho A_s}{EJ}} \quad (2)$$

Le condizioni al contorno relative all'estremo incastrato ($x = 0$) sono:

$$\begin{cases} y(0, t) = 0 \\ \varphi(0, t) = \frac{\partial y}{\partial x}(0, t) = 0 \end{cases} \quad (3)$$

Le condizioni al contorno relative all'estremo libero ($x = l$) sono invece:

$$\begin{cases} M(l, t) = EJ \frac{\partial^2 y}{\partial x^2}(l, t) = 0 \\ T(l, t) = EJ \frac{\partial^3 y}{\partial x^3}(l, t) = 0 \end{cases} \quad (4)$$

Per imporre le condizioni suddette occorre effettuare il calcolo delle derivate parziali rispetto ad x (prima, seconda e terza) della funzione $y(x, t)$:

$$\frac{\partial y}{\partial x}(x, t) = \beta(-A \sin \beta x + B \cos \beta x + C \sinh \beta x + D \cosh \beta x)f(t) \quad (5)$$

$$\frac{\partial^2 y}{\partial x^2}(x, t) = \beta^2(-A \cos \beta x - B \sin \beta x + C \cosh \beta x + D \sinh \beta x)f(t) \quad (6)$$

$$\frac{\partial^3 y}{\partial x^3}(x, t) = \beta^3(A \sin \beta x - B \cos \beta x + C \sinh \beta x + D \cosh \beta x)f(t) \quad (7)$$

Utilizzando ora le espressioni di $y(x, t)$ e delle sue derivate nelle condizioni al contorno (3) e (4), si ottiene, dopo opportune semplificazioni, il seguente sistema di equazioni:

$$\begin{cases} A + C = 0 \\ B + D = 0 \\ -A \cos \beta l - B \sin \beta l + C \cosh \beta l + D \sinh \beta l = 0 \\ A \sin \beta l - B \cos \beta l + C \sinh \beta l + D \cosh \beta l = 0 \end{cases} \quad (8)$$

Ricavando dalle prime due equazioni del sistema (8) i valori delle costanti C e D e sostituendoli nelle rimanenti equazioni, si perviene al seguente sistema:

$$\begin{cases} A(\cos \beta l + \cosh \beta l) + B(\sin \beta l + \sinh \beta l) = 0 \\ A(\sin \beta l - \sinh \beta l) - B(\cos \beta l + \cosh \beta l) = 0 \end{cases} \quad (9)$$

Affinché tale sistema abbia una soluzione non banale è necessario che sia nullo il determinante della matrice dei coefficienti:

$$\begin{vmatrix} (\cos \beta l + \cosh \beta l) & (\sin \beta l + \sinh \beta l) \\ (\sin \beta l - \sinh \beta l) & -(\cos \beta l + \cosh \beta l) \end{vmatrix} = 0 \quad (10)$$

Ponendo, per semplicità $\alpha = \beta l$ e sviluppando il determinante, si ricava, dopo semplici passaggi, l'equazione delle frequenze sotto riportata:

$$1 + \cos \alpha \cosh \alpha = 0 \quad (11)$$

ovvero:

$$\cos \alpha = -\frac{1}{\cosh \alpha} \quad (12)$$

L'equazione (12), risolta per via numerica, fornisce i valori di α corrispondenti alle pulsazioni proprie del sistema in esame; la rappresentazione grafica dei due membri della (12) è riportata in Figura 3:

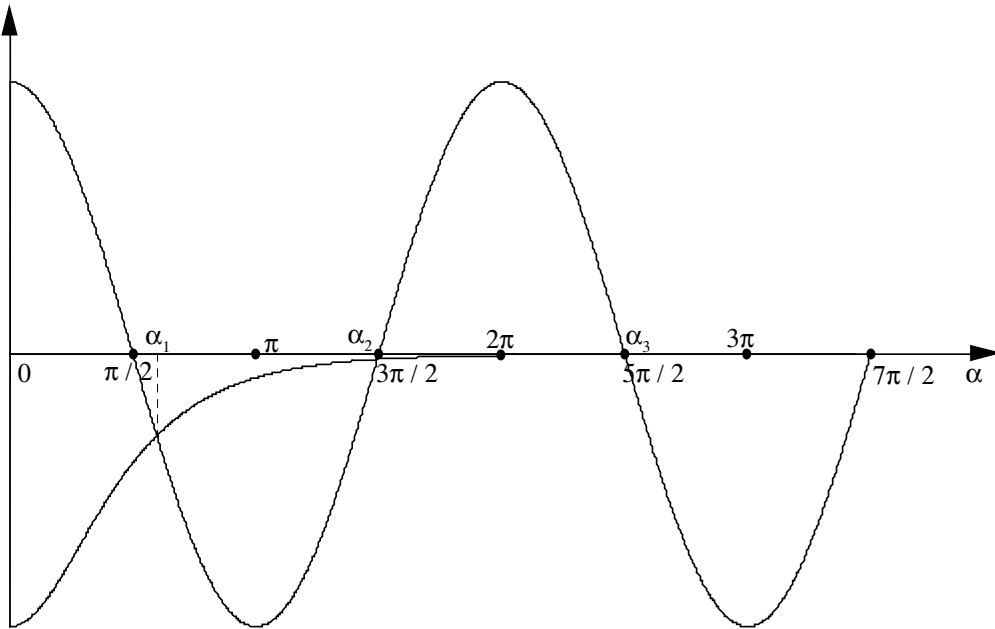


Figura 3

Si noti che, essendo $\alpha > 0$, si considera soltanto il semiasse orizzontale positivo.

Indichiamo con α_1 , α_2 e α_3 le prime tre soluzioni della (12): dal grafico sopra riportato si deduce che:

$$\frac{\pi}{2} < \alpha_1 < \pi \quad \alpha_2 \cong \frac{3}{2}\pi \quad \alpha_3 \cong \frac{5}{2}\pi \quad (13)$$

La soluzione numerica della (12) fornisce i seguenti risultati:

$$\begin{aligned}\alpha_1 &= \beta_1 l = 1.875 \\ \alpha_2 &= \beta_2 l = 4.694 \\ \alpha_3 &= \beta_3 l = 7.854\end{aligned}\quad (14)$$

Le pulsazioni proprie si ricavano risolvendo la (2) rispetto ad ω :

$$\omega_n = \beta_n^2 \sqrt{\frac{EJ}{\rho A_s}} \quad n = 1.2.3. \dots \quad (15)$$

Per il calcolo dei modi principali di vibrare possiamo procedere come segue:

- ricaviamo la costante B dalla seconda delle (9):

$$B = A \left(\frac{\sin \beta l - \sinh \beta l}{\cos \beta l + \cosh \beta l} \right) \quad (16)$$

- riscriviamo l'espressione di $Y(x)$ tenendo presente che $C = -A$ e $D = -B$:

$$Y(x) = A(\cos \beta x - \cosh \beta x) + B(\sin \beta x - \sinh \beta x) \quad (17)$$

- sostituiamo la (16) nella (17):

$$Y(x) = A \left[(\cos \beta x - \cosh \beta x) + \left(\frac{\sin \beta l - \sinh \beta l}{\cos \beta l + \cosh \beta l} \right) (\sin \beta x - \sinh \beta x) \right] \quad (18)$$

Con riferimento all' n -esimo modo di vibrare potremo quindi scrivere:

$$Y_n(x) = A_n \left[(\cos \beta_n x - \cosh \beta_n x) + \left(\frac{\sin \beta_n l - \sinh \beta_n l}{\cos \beta_n l + \cosh \beta_n l} \right) (\sin \beta_n x - \sinh \beta_n x) \right] \quad (19)$$

$$y_n(x, t) = Y_n(x) f_n(t) = Y_n(x) (E_n \cos \omega_n t + F_n \sin \omega_n t) \quad (20)$$

Nelle figure seguenti sono rappresentate le deformate della trave relative ai primi tre modi di vibrare.



Figura 4: Primo modo di vibrare.



Figura 5: Secondo modo di vibrare.

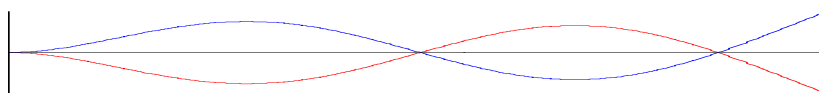


Figura 6: Terzo modo di vibrare.

Esercizio 9 - Cod. VIB-047

Calcolare le pulsazioni proprie ed i modi principali di vibrare relativi alle vibrazioni trasversali della trave sotto riportata.

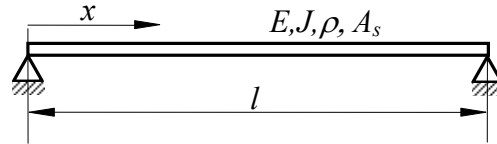


Figura 1

Soluzione

Indichiamo con: Per la risoluzione del problema adottiamo le convenzioni di segno indicate in Figura 2:

- $y(x, t)$ lo spostamento verticale di una generica sezione della trave;
- $\varphi(x, t)$ la rotazione di una generica sezione della trave;
- $M(x, t)$ il momento flettente agente in una generica sezione della trave;
- $T(x, t)$ la forza di taglio in una generica sezione della trave.

L'equazione delle vibrazioni trasversali è la seguente:



Figura 2

$$y(x, t) = Y(x)f(t) = (A \cos \beta x + B \sin \beta x + C \cosh \beta x + D \sinh \beta x)(E \cos \omega t + F \sin \omega t) \quad (1)$$

dove:

$$\beta = \sqrt[4]{\frac{\omega^2 \rho A_s}{EJ}} \quad (2)$$

Le condizioni al contorno relative all'estremo sinistro ($x = 0$) sono:

$$\begin{cases} y(0, t) = 0 \\ M(0, t) = EJ \frac{\partial^2 y}{\partial x^2}(0, t) = 0 \end{cases} \quad (3)$$

Analogamente, per l'estremo destro ($x = l$) si ha:

$$\begin{cases} y(l, t) = 0 \\ M(l, t) = EJ \frac{\partial^2 y}{\partial x^2}(l, t) = 0 \end{cases} \quad (4)$$

Per imporre le condizioni suddette occorre effettuare il calcolo della derivata parziale seconda rispetto ad x della funzione $y(x, t)$:

$$\frac{\partial^2 y}{\partial x^2}(x, t) = \beta^2 (-A \cos \beta x - B \sin \beta x + C \cosh \beta x + D \sinh \beta x) f(t) \quad (5)$$

Utilizzando ora le equazioni (1) e (5) nelle condizioni al contorno (3) e (4), si ottiene, dopo opportune semplificazioni, il seguente sistema di equazioni:

$$\begin{cases} A + C = 0 \\ -A + C = 0 \\ A \cos \beta l + B \sin \beta l + C \cosh \beta l + D \sinh \beta l = 0 \\ -A \cos \beta l - B \sin \beta l + C \cosh \beta l + D \sinh \beta l = 0 \end{cases} \quad (6)$$

Dalle prime due equazioni del sistema (6) si deduce che $A = C = 0$; le rimanenti equazioni possono quindi essere riscritte nella forma:

$$\begin{cases} B \sin \beta l + D \sinh \beta l = 0 \\ -B \sin \beta l + D \sinh \beta l = 0 \end{cases} \quad (7)$$

Affinché tale sistema abbia una soluzione non banale è necessario che sia nullo il determinante della matrice dei coefficienti:

$$\begin{vmatrix} \sin \beta l & \sinh \beta l \\ -\sin \beta l & \sinh \beta l \end{vmatrix} = 0 \quad (8)$$

Sviluppando il determinante e semplificando si ottiene:

$$\sin \beta l \sinh \beta l = 0 \quad (9)$$

Poiché risulta $\sinh \beta l \neq 0$ per $\beta l \neq 0$, la (11) dà luogo all'equazione delle frequenze sotto riportata:

$$\sin \beta l = 0 \quad (10)$$

I valori di β che soddisfano la (10) sono:

$$\beta_n = \frac{n\pi}{l} \quad n = 1, 2, 3, \dots \quad (11)$$

Come si può notare, l'equazione delle frequenze risulta in questo caso particolarmente semplice: non è quindi necessario ricorrere a metodi numerici per la determinazione delle sue radici.

Le pulsazioni proprie si ricavano risolvendo la (2) rispetto ad ω :

$$\omega_n = \beta_n^2 \sqrt{\frac{EJ}{\rho A_s}} \quad n = 1, 2, 3, \dots \quad (12)$$

Sommando membro a membro le due equazioni del sistema (7) si può immediatamente verificare che la costante D deve essere nulla; Poiché anche le costanti A e C risultano nulle, possiamo scrivere:

$$Y(x) = B \sin \beta x \quad (13)$$

Con riferimento all' n -esimo modo di vibrare si ha pertanto:

$$Y_n(x) = B_n \sin \beta_n x \quad (14)$$

$$y_n(x, t) = Y_n(x) f_n(t) = Y_n(x) (E_n \cos \omega_n t + F_n \sin \omega_n t) \quad (15)$$

Nelle figure seguenti sono rappresentate le deformate della trave relative ai primi tre modi di vibrare.

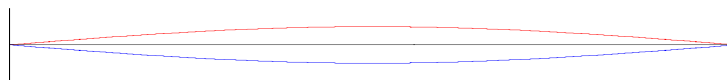


Figura 3: Primo modo di vibrare.

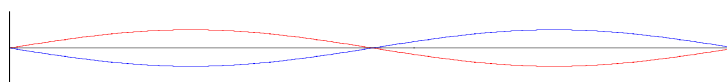


Figura 4: Secondo modo di vibrare.

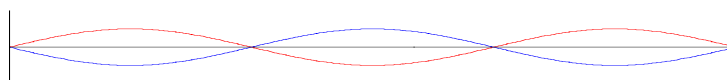


Figura 5: Terzo modo di vibrare.

Esercizio 10 - Cod. VIB-048

Calcolare le prime tre pulsazioni proprie ed i modi principali di vibrare relativi alle vibrazioni trasversali della trave sotto riportata.

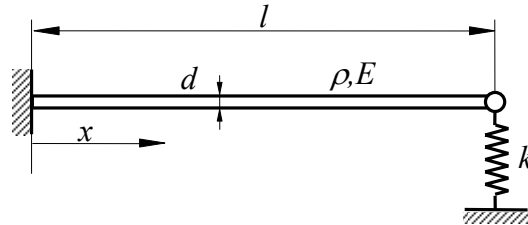


Figura 1

Dati

- Lunghezza dell'asta $l = 1$ m
- Modulo di Young dell'acciaio $E = 206000$ N/mm²
- Densità dell'acciaio $\rho = 7800$ kg/m³
- Diametro della sezione trasversale dell'asta $d = 20$ mm
- Rigidezza della molla $k = 20000$ N/m

Soluzione

Indichiamo con:

- $y(x, t)$ lo spostamento verticale di una generica sezione della trave;
- $\varphi(x, t)$ la rotazione di una generica sezione della trave;
- $M(x, t)$ il momento flettente agente in una generica sezione della trave;
- $T(x, t)$ la forza di taglio in una generica sezione della trave.

Per la risoluzione del problema adottiamo le convenzioni di segno indicate in Figura 2:



Figura 2

L'equazione delle vibrazioni trasversali è la seguente:

$$y(x, t) = Y(x)f(t) = (A \cos \beta x + B \sin \beta x + C \cosh \beta x + D \sinh \beta x)(E \cos \omega t + F \sin \omega t) \quad (1)$$

dove:

$$\beta = \sqrt[4]{\frac{\omega^2 \rho A_s}{EJ}} \quad (2)$$

Le condizioni al contorno relative all'estremo sinistro ($x = 0$) sono:

$$\begin{cases} y(0, t) = 0 \\ \varphi(0, t) = \frac{\partial y}{\partial x}(0, t) = 0 \end{cases} \quad (3)$$

Le condizioni al contorno relative all'estremo destro ($x = l$) sono invece:

$$\begin{cases} M(l, t) = EJ \frac{\partial^2 y}{\partial x^2}(l, t) = 0 \\ T(l, t) = EJ \frac{\partial^3 y}{\partial x^3}(l, t) = ky(l, t) \end{cases} \quad (4)$$

Si osservi che la seconda delle (4) esprime la condizione di equilibrio delle forze agenti in corrispondenza dell'estremo destro della trave; tali forze, come risulta evidente dalla Figura 3, sono rappresentate dall'azione della molla $ky(l, t)$ e dalla forza di taglio $T(l, t)$.

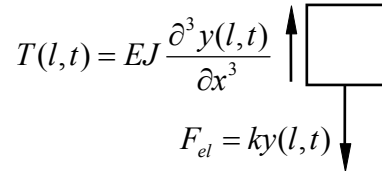


Figura 3 Estremo destro della trave.

Per imporre le condizioni suddette occorre effettuare il calcolo delle derivate parziali (prima, seconda e terza) rispetto ad x della funzione $y(x, t)$:

$$\frac{\partial y}{\partial x}(x, t) = \beta(-A \sin \beta x + B \cos \beta x + C \sinh \beta x + D \cosh \beta x)f(t) \quad (5)$$

$$\frac{\partial^2 y}{\partial x^2}(x, t) = \beta^2(-A \cos \beta x - B \sin \beta x + C \cosh \beta x + D \sinh \beta x)f(t) \quad (6)$$

$$\frac{\partial^3 y}{\partial x^3}(x, t) = \beta^3(A \sin \beta x - B \cos \beta x + C \sinh \beta x + D \cosh \beta x)f(t) \quad (7)$$

Utilizzando ora le espressioni di $y(x, t)$ e delle sue derivate nelle condizioni al contorno (3) e (4), si ottiene, dopo opportune semplificazioni, il seguente sistema di equazioni:

$$\begin{cases} A + C = 0 \\ B + D = 0 \\ -A \cos \beta l - B \sin \beta l + C \cosh \beta l + D \sinh \beta l = 0 \\ EJ\beta^3(A \sin \beta l - B \cos \beta l + C \sinh \beta l + D \cosh \beta l) = k(A \cos \beta l + B \sin \beta l + C \cosh \beta l + D \sinh \beta l) \end{cases} \quad (8)$$

Ricavando dalle prime due equazioni del sistema (8) i valori delle costanti C e D e sostituendoli nelle rimanenti equazioni, si perviene al sistema:

$$\begin{cases} A(\cos \alpha + \cosh \alpha) + B(\sin \alpha + \sinh \alpha) = 0 \\ \alpha^3[A(\sin \alpha - \sinh \alpha) - B(\cos \alpha + \cosh \alpha)] = \frac{kl^3}{EJ}[A(\cos \alpha - \cosh \alpha) + B(\sin \alpha - \sinh \alpha)] \end{cases} \quad (9)$$

dove si è posto, per semplicità di scrittura, $\alpha = \beta l$.

Definendo ora $\lambda = \frac{kl^3}{EJ}$ e riordinando i termini, il sistema (9) può essere riscritto nella forma:

$$\begin{cases} A(\cos \alpha + \cosh \alpha) + B(\sin \alpha + \sinh \alpha) = 0 \\ A[\alpha^3(\sin \alpha - \sinh \alpha) - \lambda(\cos \alpha - \cosh \alpha)] - B[\alpha^3(\cos \alpha + \cosh \alpha) + \lambda(\sin \alpha - \sinh \alpha)] = 0 \end{cases} \quad (10)$$

Affinché tale sistema abbia una soluzione non banale è necessario che sia nullo il determinante della matrice dei coefficienti:

$$\begin{vmatrix} (\cos \alpha + \cosh \alpha) & (\sin \alpha + \sinh \alpha) \\ [\alpha^3(\sin \alpha - \sinh \alpha) - \lambda(\cos \alpha - \cosh \alpha)] & -[\alpha^3(\cos \alpha + \cosh \alpha) + \lambda(\sin \alpha - \sinh \alpha)] \end{vmatrix} = 0 \quad (11)$$

Sviluppando il determinante, si ricava, dopo alcuni passaggi, l'equazione delle frequenze sotto riportata:

$$\frac{\lambda \cos \alpha \sinh \alpha - \alpha^3}{\cosh \alpha} = \alpha^3 \cos \alpha + \lambda \sin \alpha \quad (12)$$

Tale equazione, risolta per via numerica, fornisce i valori di α corrispondenti alle pulsazioni proprie del sistema in esame; per risolvere la (12) occorre dapprima calcolare il valore del coefficiente λ , che risulta funzione di k (rigidezza della molla), l (lunghezza della trave), E (modulo di Young) e J (momento d'inerzia della sezione della trave rispetto all'asse neutro della flessione).

Con i dati forniti dal problema si ottengono i seguenti valori:

$$J = \frac{\pi d^4}{64} = \frac{\pi \times (20 \times 10^{-3})^4}{64} = 7.854 \times 10^{-9} \text{ m}^4 \quad (13)$$

$$\lambda = \frac{kl^3}{EJ} = \frac{20000 \times 1^3}{206000 \times 10^6 \times 7.854 \times 10^{-9}} = 12.362 \quad (14)$$

La rappresentazione grafica dei due membri della (12) è riportata in Figura 4:

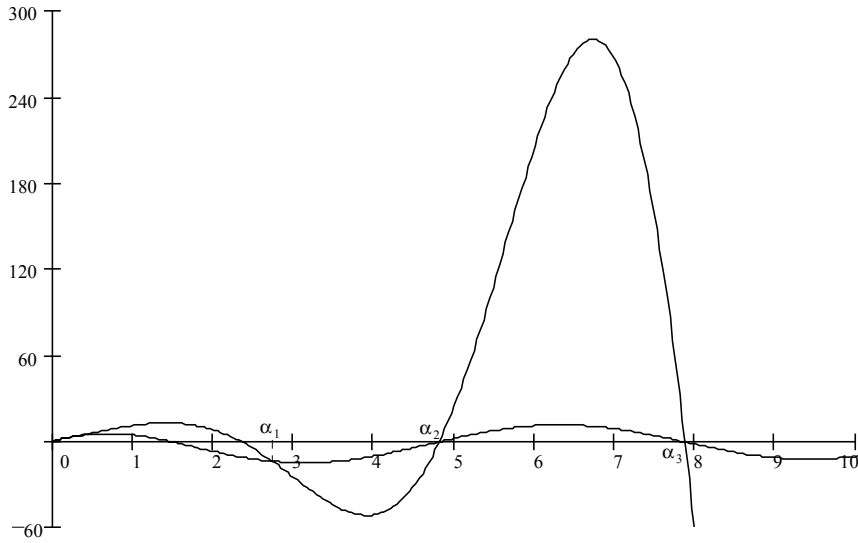


Figura 4

Si noti che, essendo $\alpha > 0$, si considera soltanto il semiasse orizzontale positivo.

Indichiamo con α_1 , α_2 e α_3 le prime tre soluzioni della (12): dal grafico sopra riportato si deduce che:

$$2 < \alpha_1 < 3 \quad 4 < \alpha_2 < 5 \quad 7 < \alpha_3 < 8 \quad (15)$$

La soluzione numerica fornisce i seguenti risultati:

$$\begin{aligned} \alpha_1 &= \beta_1 l = 2.735 \\ \alpha_2 &= \beta_2 l = 4.818 \\ \alpha_3 &= \beta_3 l = 7.881 \end{aligned} \quad (16)$$

Le pulsazioni proprie si ricavano risolvendo la (2) rispetto ad ω :

$$\omega_n = \beta_n^2 \sqrt{\frac{EJ}{\rho A_s}} = K \left(\frac{\alpha_n}{l} \right)^2 \quad n = 1.2.3. \dots \quad (17)$$

avendo posto $K = \sqrt{EJ/\rho A_s}$.

Con i dati assegnati l'area della sezione trasversale A_s e la costante K risultano rispettivamente:

$$A_s = \frac{\pi d^2}{4} = \frac{\pi \times (20 \times 10^{-3})^2}{4} = 3.142 \times 10^{-4} \text{ m}^2 \quad (18)$$

$$K = \sqrt{\frac{EJ}{\rho A_s}} = \sqrt{\frac{2.06 \times 10^{11} \times 7.854 \times 10^{-9}}{7800 \times 3.142 \times 10^{-4}}} = 25.7 \text{ m}^2/\text{s} \quad (19)$$

Le prime tre pulsazioni proprie assumono pertanto i valori sotto indicati:

$$\begin{aligned}\omega_1 &= K \left(\frac{\alpha_1}{l} \right)^2 = 25.7 \left(\frac{2.735}{1} \right)^2 = 192 \text{ rad/s} \\ \omega_2 &= K \left(\frac{\alpha_2}{l} \right)^2 = 25.7 \left(\frac{4.818}{1} \right)^2 = 596 \text{ rad/s} \\ \omega_3 &= K \left(\frac{\alpha_3}{l} \right)^2 = 25.7 \left(\frac{7.881}{1} \right)^2 = 1596 \text{ rad/s}\end{aligned}\tag{20}$$

Esercizio 11 - Cod. VIB-049

Calcolare le prime tre pulsazioni proprie ed i modi principali di vibrare relativi alle vibrazioni trasversali della trave sotto riportata.

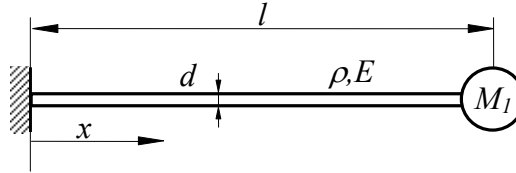


Figura 1

Dati

- Lunghezza dell'asta $l = 0.8 \text{ m}$
- Modulo di Young dell'acciaio $E = 206000 \text{ N/mm}^2$
- Densità dell'acciaio $\rho = 7800 \text{ kg/m}^3$
- Diametro della sezione trasversale dell'asta $d = 25 \text{ mm}$
- Massa applicata all'estremità destra dell'asta $M_1 = 15 \text{ kg}$

Soluzione

Indichiamo con:

- $y(x, t)$ lo spostamento verticale di una generica sezione della trave;
- $\varphi(x, t)$ la rotazione di una generica sezione della trave;
- $M(x, t)$ il momento flettente agente in una generica sezione della trave;
- $T(x, t)$ la forza di taglio in una generica sezione della trave.

Per la risoluzione del problema adottiamo le convenzioni di segno indicate in Figura 2:



Figura 2

L'equazione delle vibrazioni trasversali è la seguente:

$$y(x, t) = Y(x)f(t) = (A \cos \beta x + B \sin \beta x + C \cosh \beta x + D \sinh \beta x)(E \cos \omega t + F \sin \omega t) \tag{1}$$

dove:

$$\beta = \sqrt[4]{\frac{\omega^2 \rho A_s}{EJ}} \tag{2}$$

Le condizioni al contorno relative all'estremo sinistro ($x = 0$) sono:

$$\begin{cases} y(0, t) = 0 \\ \varphi(0, t) = \frac{\partial y}{\partial x}(0, t) = 0 \end{cases} \tag{3}$$

Le condizioni al contorno relative all'estremo destro ($x = l$) sono invece:

$$\begin{cases} M(l, t) = EJ \frac{\partial^2 y}{\partial x^2}(l, t) = 0 \\ T(l, t) = EJ \frac{\partial^3 y}{\partial x^3}(l, t) = M_1 \frac{\partial^2 y}{\partial t^2}(l, t) \end{cases} \tag{4}$$

Si osservi che la seconda delle (4) esprime la condizione di equilibrio delle forze agenti in corrispondenza dell'estremo destro della trave; tali forze, come risulta evidente dalla Figura 3 sotto riportata, sono rappresentate dalla forza d'inerzia $M_1 \frac{\partial^2 y}{\partial t^2}(l, t)$ generata dalla massa concentrata e dalla forza di taglio $T(l, t)$.

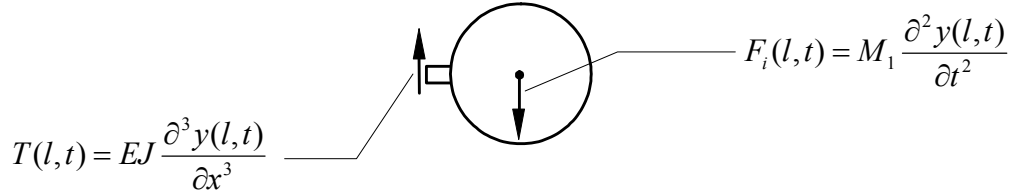


Figura 3

Per imporre le condizioni suddette occorre effettuare il calcolo delle derivate parziali (prima, seconda e terza) rispetto ad x della funzione $y(x, t)$:

$$\frac{\partial y}{\partial x}(x, t) = \beta(-A \sin \beta x + B \cos \beta x + C \sinh \beta x + D \cosh \beta x)f(t) \quad (5)$$

$$\frac{\partial^2 y}{\partial x^2}(x, t) = \beta^2(-A \cos \beta x - B \sin \beta x + C \cosh \beta x + D \sinh \beta x)f(t) \quad (6)$$

$$\frac{\partial^3 y}{\partial x^3}(x, t) = \beta^3(A \sin \beta x - B \cos \beta x + C \sinh \beta x + D \cosh \beta x)f(t) \quad (7)$$

Le condizioni (3), relative all'estremo incastrato, forniscono le seguenti equazioni:

$$\begin{cases} A + C = 0 \\ B + D = 0 \end{cases} \Rightarrow \begin{cases} C = -A \\ D = -B \end{cases} \quad (8)$$

La prima delle (4) dà luogo all'equazione:

$$-A \cos \beta l - B \sin \beta l + C \cosh \beta l + D \sinh \beta l = 0 \quad (9)$$

La seconda delle (4) richiede alcune considerazioni preliminari, Poiché contiene una derivata parziale calcolata rispetto al tempo; ricordando che $y(x, t) = Y(x)f(t)$ e che $f(t) = E \cos \omega t + F \sin \omega t$, si può scrivere:

$$\frac{\partial^3 y(x, t)}{\partial x^3} = \frac{d^3 Y(x)}{dx^3} f(t) \quad (10)$$

$$\frac{\partial^2 y(x, t)}{\partial t^2} = Y(x) \frac{d^2 f(t)}{dt^2} = -\omega^2 Y(x) f(t) \quad (11)$$

Semplificando il termine $f(t)$, presente in ambo i membri dell'equazione, la seconda delle (4) diviene:

$$EJ \frac{d^3 Y(l)}{dx^3} = -M_1 \omega^2 Y(l) \quad (12)$$

ovvero:

$$\beta^3(A \sin \beta l - B \cos \beta l + C \sinh \beta l + D \cosh \beta l) = -\frac{M_1}{EJ} \omega^2 (A \cos \beta l + B \sin \beta l + C \cosh \beta l + D \sinh \beta l) \quad (13)$$

Risolvendo la (2) rispetto ad ω^2 si ha:

$$\omega^2 = \beta^4 \frac{EJ}{\rho A_s} \quad (14)$$

Sostituendo nella (13) l'espressione di ω^2 fornita dalla (14) e semplificando opportunamente si ottiene:

$$A \sin \beta l - B \cos \beta l + C \sinh \beta l + D \cosh \beta l = -\frac{M_1 \beta}{\rho A_s} (A \cos \beta l + B \sin \beta l + C \cosh \beta l + D \sinh \beta l) \quad (15)$$

Per semplicità possiamo porre $\alpha = \beta l$ e riscrivere la (15) nella forma seguente:

$$A \sin \alpha - B \cos \alpha + C \sinh \alpha + D \cosh \alpha = -\frac{M_1}{\rho A_s l} \alpha (A \cos \alpha + B \sin \alpha + C \cosh \alpha + D \sinh \alpha) \quad (16)$$

Si osservi che il termine $\frac{M_1}{\rho A_s l}$ che compare al secondo membro dell'equazione rappresenta il rapporto fra il valore della massa M_1 , applicata all'estremo libero, ed il valore della massa propria della trave $m = \rho A_s l$; posto $\lambda = M_1/m$ e tenendo conto delle relazioni (8), le equazioni (9) e (16) assumono la forma sotto riportata:

$$\begin{cases} A(\cos \alpha + \cosh \alpha) + B(\sin \alpha + \sinh \alpha) = 0 \\ A[(\sin \alpha - \sinh \alpha) + \lambda \alpha (\cos \alpha - \cosh \alpha)] - B[(\cos \alpha + \cosh \alpha) - \lambda \alpha (\sin \alpha - \sinh \alpha)] = 0 \end{cases} \quad (17)$$

Affinché tale sistema abbia una soluzione non banale è necessario che sia nullo il determinante della matrice dei coefficienti:

$$\begin{vmatrix} (\cos \alpha + \cosh \alpha) & (\sin \alpha + \sinh \alpha) \\ [(\sin \alpha - \sinh \alpha) + \lambda \alpha (\cos \alpha - \cosh \alpha)] & -[(\cos \alpha + \cosh \alpha) - \lambda \alpha (\sin \alpha - \sinh \alpha)] \end{vmatrix} = 0 \quad (18)$$

Sviluppando il determinante si ricava, dopo alcuni passaggi, l'equazione delle frequenze sotto riportata:

$$\frac{1 + \lambda \alpha \cos \alpha \sinh \alpha}{\cosh \alpha} = \lambda \alpha \sin \alpha - \cos \alpha \quad (19)$$

Tale equazione, risolta per via numerica, fornisce i valori di α corrispondenti alle pulsazioni proprie del sistema in esame; per risolvere la (19) occorre dapprima calcolare il valore del coefficiente λ , che risulta funzione di M_1 (massa concentrata), ρ (densità del materiale costituente la trave), A_s (area della sezione trasversale della trave), ed l (lunghezza della trave).

Con i dati forniti dal problema si ottengono i valori sotto riportati:

$$A_s = \frac{\pi d^2}{4} = \frac{\pi \times (25 \times 10^{-3})^2}{4} = 4.909 \times 10^{-4} \text{ m}^2 \quad (20)$$

$$m = \rho A_s l = 7800 \times 4.909 \times 10^{-4} \times 0.8 = 3.063 \text{ kg} \quad (21)$$

$$\lambda = \frac{M_1}{m} = \frac{15}{3.063} = 4.897 \quad (22)$$

La rappresentazione grafica dei due membri della (19) è riportata in Figura 4:

Si noti che, essendo $\alpha > 0$, si considera soltanto il semiasse orizzontale positivo.

Indichiamo con α_1 , α_2 e α_3 le prime tre soluzioni della (19): dal grafico si deduce che:

$$\alpha_1 \cong 1 \quad \alpha_2 \cong 4 \quad \alpha_3 \cong 7 \quad (23)$$

La soluzione numerica fornisce i seguenti risultati:

$$\begin{aligned} \alpha_1 &= \beta_1 l = 0.874 \\ \alpha_2 &= \beta_2 l = 3.950 \\ \alpha_3 &= \beta_3 l = 7.083 \end{aligned} \quad (24)$$

Le pulsazioni proprie si ricavano risolvendo la (2) rispetto ad ω :

$$\omega_n = \beta_n^2 \sqrt{\frac{EJ}{\rho A_s}} = K \left(\frac{\alpha_n}{l} \right)^2 \quad n = 1.2.3. \dots \quad (25)$$

avendo posto $K = \sqrt{EJ/\rho A_s}$.

Con i dati assegnati il momento d'inerzia J e la costante K risultano rispettivamente:

$$J = \frac{\pi d^4}{64} = \frac{\pi \times (25 \times 10^{-3})^4}{64} = 1.917 \times 10^{-8} \text{ m}^4 \quad (26)$$

$$K = \sqrt{\frac{EJ}{\rho A_s}} = \sqrt{\frac{2.06 \times 10^{11} \times 1.917 \times 10^{-8}}{7800 \times 4.909 \times 10^{-4}}} = 32.12 \text{ m}^2/\text{s} \quad (27)$$

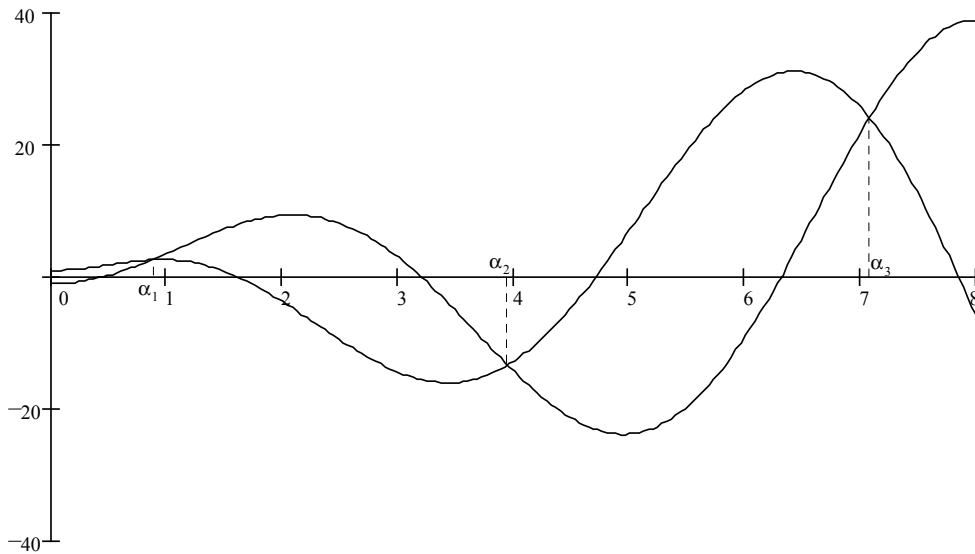


Figura 4

Le prime tre pulsazioni proprie assumono pertanto i valori sotto indicati:

$$\begin{aligned}\omega_1 &= K \left(\frac{\alpha_1}{l} \right)^2 = 32.12 \left(\frac{0.874}{0.8} \right)^2 = 38.4 \text{ rad/s} \\ \omega_2 &= K \left(\frac{\alpha_2}{l} \right)^2 = 32.12 \left(\frac{3.950}{0.8} \right)^2 = 783.2 \text{ rad/s} \\ \omega_3 &= K \left(\frac{\alpha_3}{l} \right)^2 = 32.12 \left(\frac{7.083}{0.8} \right)^2 = 2517.7 \text{ rad/s}\end{aligned}\quad (28)$$

Se avessimo trascurato la massa distribuita con continuità lungo l'asta, avremmo ottenuto un semplice modello ad un grado di libertà del tipo indicato in Figura 5:

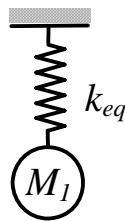


Figura 5

La costante elastica k_{eq} è data dalla rigidità flessionale della trave a mensola:

$$k_{eq} = \frac{3EJ}{l^3} = \frac{3 \times 2.06 \times 10^{11} \times 1.917 \times 10^{-8}}{0.8^3} = 23144 \text{ N/m} \quad (29)$$

La pulsazione propria vale quindi:

$$\omega^* = \sqrt{\frac{k_{eq}}{M_1}} = \sqrt{\frac{23144}{15}} = 39.3 \text{ rad/s} \quad (30)$$

Come si può notare, il valore della pulsazione propria calcolato mediante il modello approssimato risulta molto vicino al valore della prima pulsazione propria del modello a parametri distribuiti; ciò è dovuto al fatto che

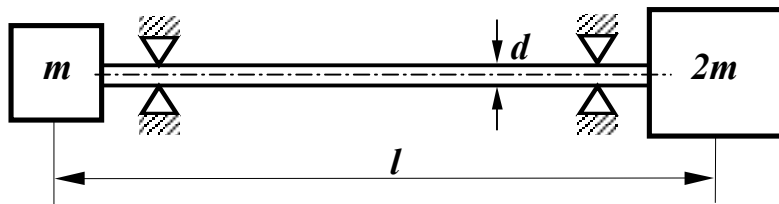
la massa della trave è piccola rispetto alla massa concentrata nell'estremo libero ($\lambda = M_1/m \cong 5$); l'errore percentuale $\Delta\%$ che si commette utilizzando il modello semplificato vale:

$$\Delta\% = \left(\frac{\omega^* - \omega_1}{\omega_1} \right) \times 100 = \left(\frac{39.3 - 38.4}{38.4} \right) \times 100 = 2.38\% \quad (31)$$

Chiaramente, l'impiego del modello semplificato (ad un solo grado di libertà) non consente di ricavare le altre pulsazioni proprie del sistema.

Esercizi proposti

Esercizio 12 - Cod. VIB-058



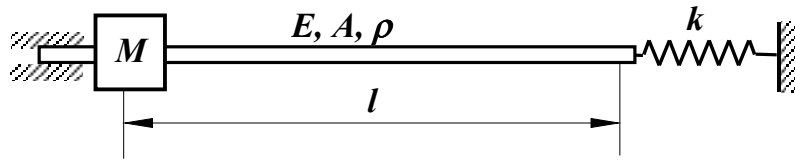
Il sistema vibrante rappresentato in figura è costituito da due masse collocate alle estremità di una barra di acciaio scorrevole senza attrito su due supporti.

- a) Nell'ipotesi che la barra abbia massa trascurabile, si calcolino le frequenze proprie relative alle vibrazioni assiali del sistema.
- b) Supponendo che la massa della barra non sia trascurabile, si imponi il procedimento di calcolo che permette di determinare le frequenze proprie relative alle vibrazioni assiali.

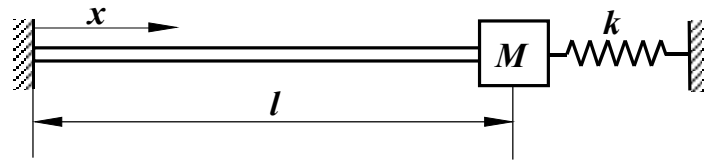
Dati

- Masse m $2m$
- Lunghezza della barra l
- Diametro della barra d
- Modulo di Young dell'acciaio E
- Densità dell'acciaio ρ

Esercizio 13 - Cod. VIB-065



Si ricavi l'equazione delle frequenze relativa alle vibrazioni assiali dell'asta rappresentata in figura.

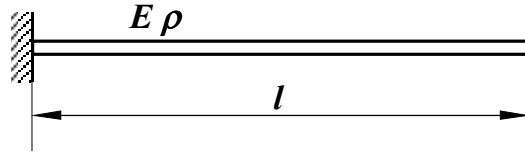
Esercizio 14 - Cod. VIB-092

Si imposti il calcolo delle pulsazioni proprie relative alle vibrazioni assiali del sistema in figura, nell'ipotesi che la massa dell'asta non sia trascurabile.

Dati

- Massa fissata all'estremità destra M
- Rigidezza della molla k
- Modulo di Young del materiale costituente l'albero E
- Densità del materiale costituente l'albero ρ
- Lunghezza dell'albero L
- Diametro dell'albero d

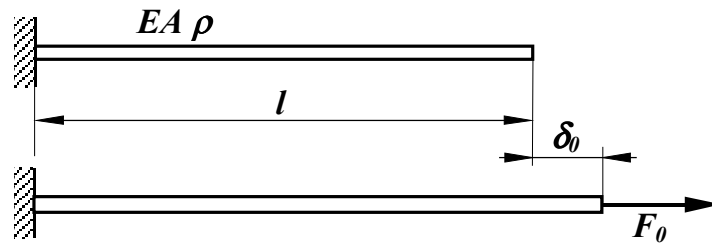
Esercizio 15 - Cod. VIB-097



Supponendo di conoscere la distribuzione degli spostamenti assiali $u_0(x)$ e la distribuzione delle velocità $\dot{u}_0(x)$ per una trave incastro-estremo libero, determinare l'espressione analitica delle vibrazioni $u(x, t)$.

Dati

- Lunghezza dell'asta l
- Modulo di Young del materiale costituente l'asta E
- Densità del materiale costituente l'asta ρ

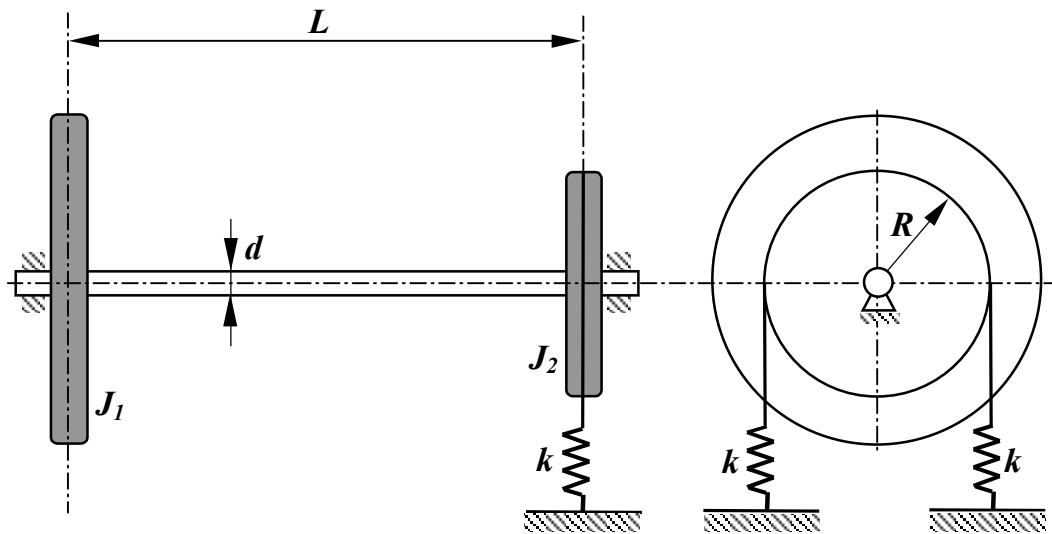
Esercizio 16 - Cod. VIB-098

Un'asta avente sezione trasversale di area costante A , densità ρ , modulo elastico E e lunghezza l è fissata ad una estremità ed è libera all'altra. L'asta è soggetta ad una forza assiale F_0 applicata al suo estremo libero, come mostrato in figura.

Studiare le vibrazioni assiali che si manifestano nell'asta quando la forza F_0 viene improvvisamente rimossa.

Dati

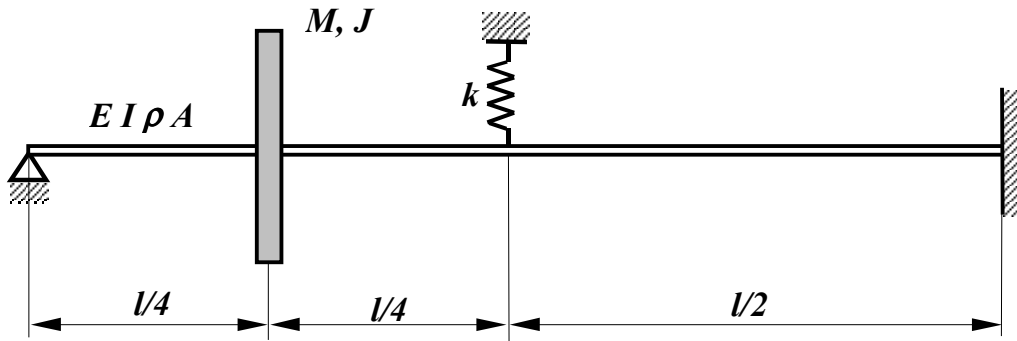
- Area della sezione trasversale dell'asta A
- Densità del materiale costituente l'asta ρ
- Modulo di Young del materiale costituente l'asta E
- Lunghezza dell'asta l
- Forza applicata all'estremo libero F_0

Esercizio 17 - Cod. VIB-071

Si imposti il calcolo delle pulsazioni proprie relative alle vibrazioni torsionali del sistema in figura, nell'ipotesi che la massa dell'albero che collega i due dischi non sia trascurabile.

Dati

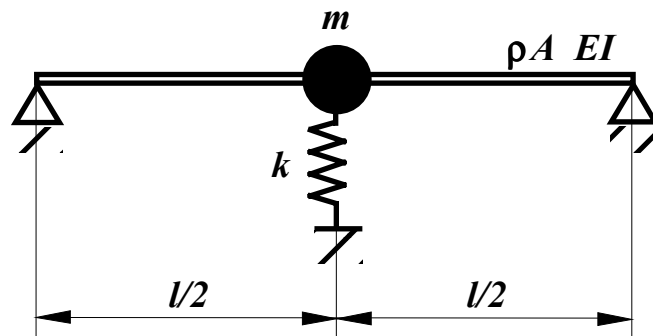
- Momento d'inerzia del disco all'estremità sinistra J_1
- Momento d'inerzia del disco all'estremità destra J_2
- Rigidezza delle molle k
- Raggio di avvolgimento delle molle R
- Modulo elastico tangenziale del materiale costituente l'albero G
- Densità del materiale costituente l'albero ρ
- Lunghezza dell'albero L
- Diametro dell'albero d

Esercizio 18 - Cod. VIB-085

Si considerino le vibrazioni flessionali della trave elastica rappresentata in figura e si imposti il calcolo che permette di ricavare le pulsazioni proprie del sistema (scrittura delle condizioni al contorno relative ad ogni tronco).

Dati

- Massa del corpo rigido fissato alla trave M
- Momento d'inerzia baricentrico del corpo rigido fissato alla trave J
- Densità del materiale costituente la trave ρ
- Modulo di Young del materiale costituente la trave E
- Momento d'inerzia della sezione della trave rispetto all'asse neutro della flessione I
- Area della sezione trasversale della trave A
- Lunghezza della trave l
- Rigidezza della molla k

Esercizio 19 - Cod. VIB-087

Si consideri il sistema in figura, costituito da una trave montata su due supporti, sulla quale è fissata una massa m , vincolata a terra mediante una molla di rigidezza k .

Domande

1. Si supponga in prima approssimazione che la massa della trave sia trascurabile rispetto alla massa concentrata m e si calcoli la pulsazione propria del sistema.
2. Si consideri ora il caso in cui la massa della trave non sia trascurabile e si imposti il calcolo che permette di determinare le pulsazioni proprie del sistema.

Dati

- Massa concentrata m
- Rigidezza della molla k
- Densità del materiale costituente la trave ρ
- Modulo di Young del materiale costituente la trave E
- Momento d'inerzia della sezione della trave rispetto all'asse neutro della flessione I
- Area della sezione trasversale della trave A
- Lunghezza della trave l